

МИНИСТЕРСТВО НАРОДНОГО ОБРАЗОВАНИЯ БССР

ГОМЕЛЬСКИЙ ГОСУДАРСТВЕННЫЙ УНИВЕРСИТЕТ  
им. Ф. Скорини.

Кафедра геофизики

МЕТОДИЧЕСКИЕ УКАЗАНИЯ  
по курсу "Физика Земли"  
для студентов специальности  
"Геофизические методы поиска  
и разведки"

Гомель 1990

РЕПОЗИТОРИЙ ГГУ  
ПРИИНЫ

## ВВЕДЕНИЕ

Методические указания по курсу "Физика Земли" рассчитаны на студентов старших курсов геофизических методов поисков и разведки. Рассматриваемые вопросы базируются на знаниях предшествующих дисциплин как геологического, так и геофизического цикла, а также физики и математики.

Вопросы физики Земли чрезвычайно обширны и многогранны. Помимо этого в этой области науки идеи очень быстро развиваются исследований, что непрерывно поставляет новую информацию о физике Земли, часто приводящую к существенному изменению понимания процессов, происходящих в Земле, к корректировке и изменению гипотез. Однако будущим специалистам геофизики необходимо иметь вполне конкретное представление о строении Земли, её жизни и происходящих в ней физических и химических процессах, формирующих геологическое лицо планеты.

## I. ОСНОВНЫЕ ГЕОЛОГО-ГЕОФИЗИЧЕСКИЕ ОСОБЕННОСТИ ЗЕМЛИ

### I.1. Континентальная кора

Средняя мощность континентальной коры равна 35 км, хотя имеются и аномальные участки под Гималаями до 90 км. Самая высокая точка земной поверхности Эверест 8848 м, самая низкая - Маринский желоб - 10912 м. Средняя высота континентов 957 м, глубина океанических впадин - 3,7 км. Океана покрывают 70% земной поверхности. Континентальная кора сложена породами, образовавшимися за период более 4,6 млрд. лет.

Структуры верхних горизонтов делятся на три главных типа:

Щиты - сложены докембрийскими породами.

Платформы - слабо складчатый чехол лежит на докембрийском фундаменте.

Складчатые горы - представлены древними породами и молодыми изверженными.

На глубинах 10-30 км в земной коре имеется граница Конрада. Она разделяет кору со скоростями продольных волн 4-5 км/с и 6,5-7,8 км/с. Верхняя часть коры очень изменчива, особенно до кристаллического основания, границного слоя. Нижний слой называют базальтовым. Состав нижней коры для изучения слабо доступен, поэтому имеются несколько моделей: гранулитовые породы, амфиболитовые. Эти породы обнаружены в глубоко эродированных районах. Наиболее вероятный средний состав пород верхней коры - гранодиориты.

СОСТАВИТЕЛЬ А.П.ЛИНЧУК

Рекомендовано к изданию методическим советом  
геологического факультета Гомельского государственного  
университета им. Б.Скорини

рический, нижний – гранулитовый.

Поддвигаясь плита может способствовать началу плавления, образуя частичный расплав или выделяя летучие компоненты, способные вызвать плавление в соседних участках мантии. Жидкая фаза поднимается вверх, внедряется в кору и образует вулканическую дугу.

Граница между континентальной и океанической корой проходит на глубинах 2000–3500 м.

Западная Европа – утонение коры до 22 км в Бенгерской впадине. Тепловой поток в три раза больше среднего. Наличие погружающейся литосфера в районе Тирренского моря.

## 1.2. ОКЕАНИЧЕСКАЯ КОРА

**Тихий океан.** Главной чертой является слабое развитие шельфа, 1,7%. Средняя глубина 4280 м. По рельефу дна разделяется на центральную и периферическую части. В первой преобладают большие глубины – 2/3 площади, разделение на обширные котловины Северо-Западная Тихоокеанская, Северо-Восточная Тихоокеанская, Центральная и Южная, превышает площадь Европы в 2–2,5 раза каждая. Восточно-Тихоокеанское поднятие проходит на глубине 7500 м, хребты Фарнинг и гарвайсинг высотой 7500 и 5000 м. Обилие подводных океанических конусов. Центральная часть океана – область отсутствия землетрясений. Огромной протяженности разломы субперпендикулярны хребтам и поднятиям. Восточно-Тихоокеанское поднятие к северу от Калифорнийского залива заходит на сузу как плафон Колорадо и хребты Больтона и Бассейна. Поверхность Мохо лежит на глубине 10–12 км от поверхности океана, т.е. кора мощностью 5–6 км ниже границы Мохо, скорость  $V_p = 9,0 \text{ км/с}$ .

Наименьшая мощность осадочного слоя установлена на вершинах подводных гор и на дне центральной части океана. Область распространения основных пород на большей части Тихого океана отделена от склоняющейся поясом кислых пород, граничащей с континентом – «андезитовая линия».

**Атлантический океан.** По величине занимает второе место. Имеет центральный срединный хребет. Западная часть океана глубже восточной. Северная половина Атлантики окаймлена кaledонскими складчатыми сооружениями, южная – докембрийскими платформами. Обнаружены многочисленные серии седущих хребтов поперечных разломов. Корка абиссального дна имеет мощность осадков 0,5–1 км. Гол-

4

шина земной коры 5–7 км.

**Индийский океан.** Занимает по размерам третье место. Корка 5–10 км. Восточно-Индийский хребет меридионального направления, шириной 100 км, длиной 2650 км, высотой 1000–3500 м. Заканчивается внезапно. Вдоль поднятий идет желоб. В южной части расположен Западно-Австралийский хребет с крутыми склонами и пологими северными склонами.

Система Срединно-Индоокеанических хребтов: Аравийско-Индийский, Африкано-Атлантический. Эта система переходит в Срединно-Атлантический хребет.

**Северный Ледовитый океан.** Имеет меньшие глубины, чем другие океаны и сильно развитую материковую окраину. Шельф занимает 37,4%. Океан пересекается серией субпараллельных поднятий: хребтами Менделеева, Ломоносова, Срединно-Арктическим Гренландия. Дно океана подобно дну Тихого океана. Структура коры имеет континентальный и океанический тип. Типично океаническая кора присуща отдельным разрозненным участкам. Установлен разный характер магнитных полей в западной и восточной части. Магнитные аномалии сходны с аномалиями других океанов.

## 1.3. Срединно-океанические хребты

Протяженность Срединно-Атлантических хребтов 80000 км. Центральная часть хребтов нередко рассечена рифтовой долиной, узким до 30 км ущельем с вертикальными стенками и плоским дном. В некоторых районах хребты продолжаются на материке /Исландия, Калифорния, Арктика/. В других случаях хребты по «трансформным разломам» соединяются с островными дугами.

Помимо срединных хребтов на дне океана имеются другие хребты, имеющие другое строение. Срединно-Атлантические хребты характеризуются высокой сейсмичностью, тепловым потоком, гравитационными и магнитными аномалиями, мелкофокусными землетрясениями. Магнитное поле полосового характера с параллельной симметрией по обе стороны от центральной рифтовой аномалии. Аномальное поле двух других хребтов более соответствует полям континентального типа коры. Абиссальные прислегающие к хребтам характеризуются также упорядоченной структурой магнитных аномалий параллельной хребтам.

Гравитационные аномалии указывают, что литосфера хребтов уравновешивается за счет менее плотного верхнего слоя мантии, а не за счет утолщения коры.

Земная кора континентальная и океаническая по своему стро-

5

них существенно отличаются. Строение ячейки, её формирование, изменение рассматриваются в науке с двух принципиально различных точек зрения: фиксизма и мобилизма. Для объяснения возможности движения либо «фермерских птиц» необходимо найти силу, приводящую их к перемещению. Это может быть конвекция. Для конвекции необходим гравитационный температурный градиент и различие плотностей. Нагретый материал поднимается в центре ячейки, а остыший опускается по краям. Ширина ячейки конвекции примерно равна глубине. Расчет константы Рэлея для мантии показывает, что она больше минимальной необходимой в 1000 раз. Следовательно, конвекция в мантии возможна. Во всяком случае во времена более нагретой Земли конвекция была ещё более вероятной.

$$R_a = \frac{a \Delta T g \rho d^3}{K_l}$$

$R_a$  - число Рэлея,  $a$  - объемный коэффициент теплового расширения,  $\Delta T$  - разность температур,  $g$  - ускорение силы тяжести,  $\rho$  - плотность,  $d$  - глубина ячейки,  $K_l$  - коэффициент температуропроводности,  $\eta$  - вязкость. Для мантии  $R_a \approx 2 \cdot 10^4$ ,  $T$ , при минимуме  $\rho_a = 2600$ . Даже если  $\Delta T$  равно 1°C конвекция должна возникнуть, но  $\Delta T$  составляет сочи градусов.

Среди горячих струй «пльмы» пока не удалось. В тоже время зоны крупных неоднородностей в мантии выявлены сейсмическими и гравитационными наблюдениями. Размеры этих неоднородностей более 1000 км.

## П. РАСПРОСТРАНЕНИЕ СЕЙСМИЧЕСКИХ ВОЛН В ЗЕМЛЕ

### 2.1. Сейсмические волны в Земле

Сейсмические волны - это низкочастотные упругие звуковые волны в Земле. Волны делятся на объемные и поверхностные. Объемные волны бывают продольные -P и поперечные -S. Скорость продольных волн в 1,7 раза больше скорости поперечных.

Продольные и поперечные волны пронизывают весь объем планеты, а поверхностные распространяются вдоль земной поверхности. Скорость продольных и поперечных волн с глубиной изменяется, поэтому они распространяются не прямолинейно, а по искривленным дуговым лучам. В недрах Земли существует кроме градиентов среды и резкие преломляющие и отражающие границы, где скорости волн изменяются скачком.

Общая тенденция среди Земли - увеличение скорости распространения волн с глубиной до центра Земли. Но существует зоны, где более глубокий горизонт, слой, имеет меньшую скорость. В этом слу-

чае образуются волноводы, в которых распространяются канальные волны.

Необычайно широк и спектр регистрируемых волн с периодом от долей секунды до часов. Источниками волн служат различные промышленные предприятия, движения машин, самолетов, катеров, различные взрывы, ветер, морские волны (гиганты), морской прибой, подвижки блоков земной коры, образование «рециноватости» горных пород, землетрясения, извержения вулканов, собственные колебания Земли. Причем, на первый взгляд «слабые волны», могут распространяться на сотни километров. Так, волны создаваемые на Балтийском море, регистрируются в Белоруссии.

Волны различных периодов несут определенную информацию о Земле. Самые короткопериодные волны, микросеймы, шумы помогают выяснить строение и геологическую жизнь земной коры, осадочной «олщи». Волны землетрясений несут информацию о строении глубинных оболочек Земли. Волны землетрясений сравниваются с фоном, освещением глубины Земли.

В отсутствие землетрясений при высокой чувствительности регистрирующей аппаратуры регистрируются микросеймы. Их период находится в пределах 4-6 сек. И амплитуда непостоянна. Самые короткопериодные микросеймы исчезают очень быстро. Они, видимо, связаны с шумом промышленных городов. Другие микросеймы максимальны вблизи берегов морей, минимальны внутри суши. Часть этих микросеймов обусловлена волнами прибоя, однако источник других далек в море в центре циклонов. Волны воздействуют на дно моря, передавая ему свою энергию, которая передается далее на тысячи километров.

Микросеймы периодом менее 1 сек создаются местными метеорологическими условиями.

Представьте интерес необычное явление усиления микросеймов или волн землетрясений и цунами, если вблизи пункта наблюдений находится озеро, водохранилище, залив в которых частично волны совпадают с приходящими волнами. Резонанс усиливает колебание воды. Возникающие волны называются сейшами. Сейши возникают за тысячи километров от источника волн. Передача микросеймов на огромные расстояния, видимо, обусловлена наличием низкоскоростных волноводов.

Еще один тип сейсмических волн порождается цунами. Цунами возникают при подводных землетрясениях. Возникнув, они проходят тысячи километров почти без затухания со скоростью 600 км/ч. В открытом море цунами незамечены. Амплитуда водяных волн возрастает у побережья до десятков метров (Камчатка, 1737 г. - высота цу-

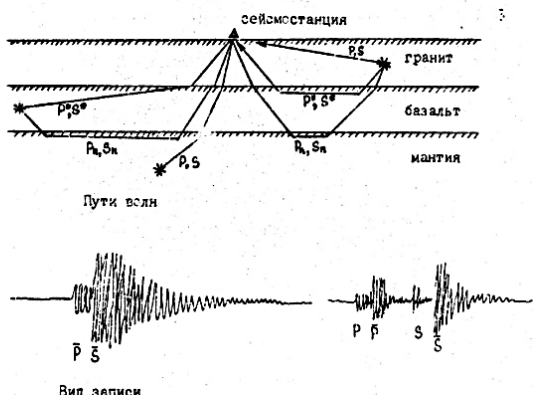
РЕПОЗИТОРИЙ ГГУ

нами 70 м). Сопутствовать землетрясениям могут оползни в море и заливы. Породы, из которых они состоят, достигают высоты 500 и 290 м.

Периоды наблюдаемых сейсмических волн: объемных Р и S с  $T=0,1+10$  с, поверхностных L с  $T=10$  с-3 мин, собственные колебания Земли с  $T=3+55$  мин, приливные с  $T=0,5$  с-15 лс.

## 2.2. Волны землетрясений

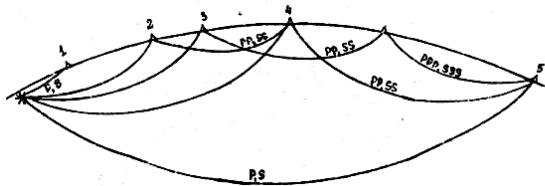
### Волны местных и близких землетрясений



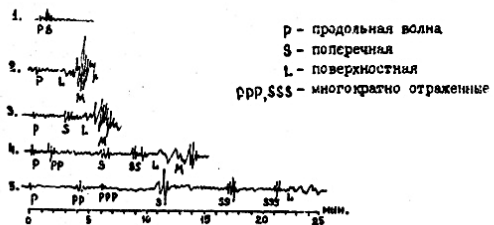
Вид записи

По разности времени прихода волн Р и S определяется расстояние до очага землетрясений, т.е. определяется длина пути движения волн. Характер записи, частота волн, длительность колебаний, наличие нескольких вступлений волн Р и S расширяет возможность извлечения информации. Местные и близкие землетрясения характеризуются малой общей длительностью записи и высокочастотным составом.

Кроме прямых волн Р и S могут приходить волны многократно отраженные от дневной поверхности.



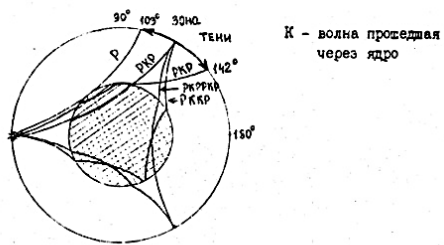
Пути волн



Вид записи

### Волны удаленных землетрясений

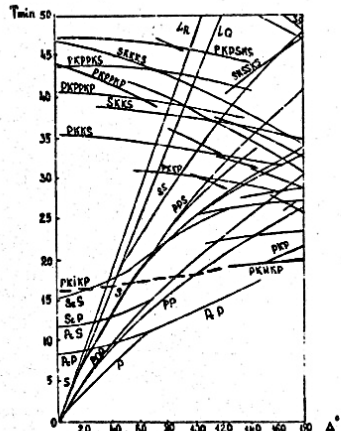
Волны удаленных землетрясений имеют более длинные периоды.



По мере удаления от эпицентра интенсивность Р и S волн, их чёткость уменьшается и на расстоянии  $103^{\circ}$  начало записи становится неразличимым до  $142^{\circ}$ . Но после  $142^{\circ}$  регистрируются уже другие волны. Время их прихода меньше, чем должно было бы быть, если бы они двигались со скоростью прежних волн. Регистрируемые волны после  $142^{\circ}$  проходят через ядро. Зона тени во-никает из-за преломления волны ядром и отклонения её, что создает тень. В зоне тени существуют волны, но они значительно слабее. Это волны магнитоскважин отраженные от дневной поверхности и границ ядра. Глубина преломления на границе мантии-ядро определены в 2700 км. Впервые она была установлена Гутенбергом в 1913 г.

Наряду с рассмотренными выше простыми прямыми волнами, существует много других волн отраженных от границ разделов, многократно отраженных, меняющих свой тип, волны поверхностные, канавовые, коровые. Все это усложняет расшифровку записей, но и дает дополнительную информацию. Долгий опыт регистрации волн землетрясений позволил построить годограф Джейфриса-Булена. Они представляют довольно сложную картину. Ниже приведено ограниченное их количество.

10



Годографы Джейфриса-Булена,  $h=0$  км

Поверхностные волны - L - имеют более длинные периоды, распространяются вдоль поверхности Земли и являются волнами Лава и Ролея. Волны Лава - поперечные колебания в горизонтальной плоскости, не имеющие вертикальной составляющей. Волны Ролея - производят колебания в вертикальной плоскости. Поверхностные волны распространяются медленнее S-волни, волна Ролея L<sub>q</sub> медленнее, чем волна Лава L<sub>q</sub>. Землетрясение порождает волны разных периодов различна, поэтому при их приеме появляются си-

чала длиннопериодные, а затем более короткопериодные. Такая рассортировка волн называется дисперсией. Если скорость упругих волн в Земле изменяется с глубиной  $h$ , то поверхносстные волны должны обладать дисперсией, так как их скорость зависит от периода.

$$U = V - \lambda \frac{dV}{d\lambda}.$$

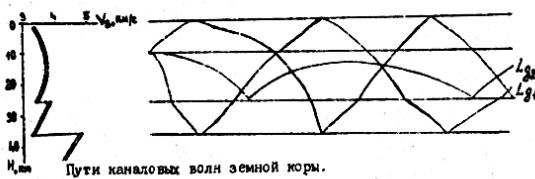
$U$  - Групповая скорость  
 $V$  - фазовая скорость

$\lambda$  - длина волны

Скорость Релеевских волн  $0,92 V_p$ , где  $V_p$  - Лава -  $V_s$ .

Групповая скорость поверхносстных волн в коре под Атлантическим и Тихим океанами выше, чем под Евразией.

В верхних слоях мантии, около 100 км, в слое минимальной толщины происходят увеличение температуры, поднимающейся близко к адабатической точке плавления. Существующее там давление относительно мало, чтобы повысить адабатическую точку. Уменьшение массы вещества в связи с этим приводит к понижению скорости распространения волн, а на больших глубинах она опять возрастает. Наличие такой скоростной характеристики приводит к возникновению низкоскоростного канала, в котором идет распространение Р и S волн со слабым затуханием. Наблюдаются подобные каналы и в земной коре континентального типа, в скважинной - ощущаются.



Пути канальных волн земной коры.

### 2.3. Сейсмические волны и строение Земли

Существует принципиальная возможность определения глубины до отражающих и преклоняющих границ с использованием гидографов, известных расстояний и скоростей движения волн.

"Всякое землетрясение, - по выражению Б.Б.Голицына, - можно

$V$

уподобить фонаю, который зажигается на короткое время и освещает нам внутренность Земли, позволяя тем самым рассмотреть то, что там происходит".

### Земная кора

Первые записи землетрясений от близких источников позволили определить скорость распространения продольных волн  $P \approx 6$  км/с и поперечной  $S \approx 3,55$  км/с и соотношение между этими скоростями равно 1,7. Далее было выяснено, что с глубиной скорость возрастает, лучи волн искривлены, поэтому зависимость времени прихода волн от эпицентрального расстояния не прямолинейна, а коксиальна. Согружение и исследование канальных волн, в связи с их запаздыванием, их сравнению с прямыми волнами, позволило установить особенность образовавших зоны пониженных скоростей внутри земной коры.

В 1910 году Можоровичем была исследована запись землетрясения на близком эпицентральном расстоянии. Кроме Р и S волн на записях были обнаружены ветвистые колебания этих волн. Они могли возникнуть от границы плоскостей на глубине около 60 км. Эта граница и была названа границей Можоровича, которая является подошвой земной коры. В дальнейшем установлены вариации глубины границы "Можо" и определено, что под горными сооружениями мощность земной коры увеличивается. Так же оказалось, что мощность земной скважинной коры составляет около 15 км. Накопление фактического материала позволило установить на континентальной коре границу на глубине около 15 км, границу между гранитным и базальтовым слоем, границу Конрада. Эта граница обнаруживается не всегда в континентальной коре. Изучение толщины земной коры и её границ продолжается до сих пор не только сейсмологами, но и сейсморазведчиками при помощи искусственных взрывов.

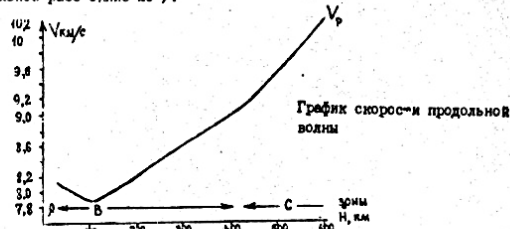
### Мантия

Изследование гидографов на эпицентральных расстояниях до  $10^3$  км позволило установить скорость распространения волн в мантии  $P \approx 8,1$  км/с,  $S \approx 4,5$  км/с. Было также установлено распространение скорости волн с глубиной до значения  $P \approx 13,6$  км/с,  $S \approx 7,3$  км/с. Установлено наличие низкоскоростного канала на глубинах около 100 км. Распределение скоростей в мантии под океанами очень близко к их распределению под континентами. На глубинах около 200-950 км увеличение скорости распространения волн идет быстрее, чем должно

РЕПОЗИТОРИЙ ГГУ

быть под влиянием давления. Предполагается изменение химического состава. На глубине 900–950 км /эпизентральное расстояние  $\theta=45^\circ$ / скорость резко изменяется давая основание предполагать налине границы. Величины скоростей здесь достигают  $P=II$  км/с.  $S=6$  км/с. Чем ниже глубины 800 км землетрясения не происходят.

Зона 900–2900 км характеризуется медленным возрастанием скорости волн  $P = II$  от 13,7 км/с;  $S = 6$  до 7 км/с. Также обнаружено изменение наклона гидографа для глубины 400 км /эпизентральное расстояние  $20^\circ$ .



Для изучения земной коры и мантии используются и поверхности волн. Распределение их дисперсии позволяет выделить неоднородность строения.

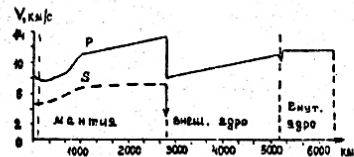
#### Ядро

По зоне тени Р и S волни, гидографам удалось выделить на глубине 2900 км ядро Земли. Скорость распространения продольных волн снизилась до 8,5 км/с, а поперечные волны не проходили через ядро. Это позволило заключить, что внешнее ядро находится в жидком состоянии. Возрастание скорости с глубиной в ядре происходит плавно и обусловлено давлением. На эпизентральном расстоянии  $\theta=110^\circ$  появляется волна РК/КР, горящая о наличии границы в ядре. Сильно преодолевающие свойства этой границы заворачивают луч в зону тени. Указанная граница на глубине 5120 км обусловлена внутренним ядром, находящимся в "твердом состоянии".

Зона перехода от внешнего ядра к внутреннему около 300 км. Скорость распространения волны во внутреннем ядре II,2 км/с. Для анализа свойств внутреннего ядра используется дисперсия волн.

14

Радиус внутреннего ядра около 1250 км.



Распределение скорости волн в недрах Земли.

#### 2.4. Длиннопериодные волны. Собственные колебания Земли

Кроме рассмотренных выше колебаний наблюдаются и сильные медленные, с периодом несколько часов. Самые медленные геологические колебания не регистрируются имеющейся аппаратурой, а колебания этого приливного легче регистрируются гравиметрами.

В 1960 году Бенюфф от Чилийского землетрясения записал сейсмические длиннопериодные колебания, эти же колебания Сникерсон были записаны приливными гравиметрами. Записанные волны оказались периодами 54; 36,5; 28,8; 20; 13,5; 11,8; 8,4 мин. Оказалось, что эти волны порождены собственными колебаниями Земли, называемыми землетрясением. Собственные колебания производят механическое движение Земли, что регистрируется сейсмометрами и гравиметрами. Спектр колебаний дискретный. Собственные колебания Земли зависят от распределения плотности в Земле и её упругих параметров модуля сдвига и модуля сдвигов, а также от распределения гравитационного поля внутри Земли. Свободные колебания, сопровождающиеся волнами с длиной волны сравнимой с радиусом Земли.



15

РЕПОЗИТОРИЙ ГУМРФУ

Практическая реализация результатов наличия собственных колебаний в анализе сложных сейсмических сигналов. Кроме того, собственные колебания Земли являются её собственными функциями, как планетного тела, характеризующими её свойства, строение и дающие возможность проводить сопоставление с такими же параметрами других небесных тел. Следует отметить, что расчеты собственных колебаний Земли были проведены ранее в 1911 году Лягом, первая регистрация была проведена Беньофом в 1952 году, однако «очно доказанными и зарегистрированными следует считать 1960 г. Колебания подразделяются на классы: круговые и сфероидальные.

Сфероидальные колебания связаны с изменением объема и формы планеты. С ростом номера колебания, их частоты они вытесняются из центра к периферии планеты. Различные частотные интервалы характеризуют различные сферы Земли. Сфероидальные колебания регистрируются гравиметрами и сейсмометрами.

Круговые колебания не регистрируются гравиметрами. Круговые колебания связаны только с жесткими оболочками Земли и определяются распределением модуля сдвига и плотности в мантии и коре. Это даёт возможность уточнить реальную модель Земли, что и было выполнено. Параметры круговых колебаний подтверждают наличие зоны покинутых сейсмических скоростей на глубинах 50–250 км. Эта модель Земли получила название модели Гунберга, и вся верхняя зона называется астеносферой.

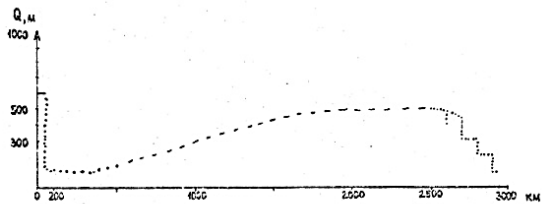
#### 2.5. Диссиликативные свойства Земли, добротность

Диссиликативность – мера рассеяния механической энергии в различных слоях планеты, т.е. мера механической добротности системы. Она определяется отношением энергии, накапленной в системе к энергии, рассеянной в течение цикла.

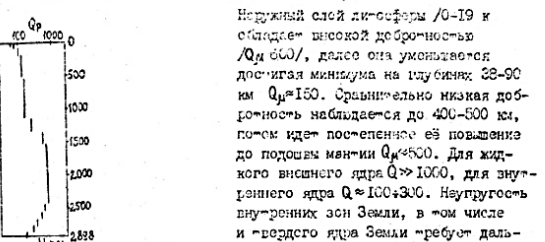
$$Q_M = \frac{1}{2\pi} \cdot \frac{E}{\Delta E}$$

Величина  $Q_M$  рассматривается как «мера идеальности» упругости среды. Чем больше добротность, тем меньше рассеивание механической энергии при колебаниях. При колебаниях в недрах Земли возникают напряжения сдвига и скатия. Напряжение скатия пропорционально модулю скатия  $\mu$ . Эти процессы приводят к рассеянию энергии в неидеально упругой среде. Распределение добротности с глубиной определяется по собственным колебаниям Земли.

16



Распределение механической добротности в коре и мантии.



Нижний слой ликосферы /0–10 км от границы/ высокой добротности  $/Q_M \approx 600/$ , далее она уменьшается до минимального минимума на глубинах 28–90 км  $Q_M=150$ . Сравнительно низкая добротность наблюдается до 400–500 км, постепенное её повышение до подошвы мантии  $Q_M \approx 500$ . Для жидкого ядра  $Q \gg 1000$ , для внутреннего ядра  $Q \approx 1000+300$ . Неупругость внутренних зон Земли, в том числе и твердого ядра Земли требует дальнейшего исследования. В первом приближении ее можно объяснить близостью температур к температуре плавления, наличием инородных примесей /например, в низах мантии летучих компонент  $H_2O$ ,  $CO_2/$ , частичное плавление, релаксация напряжений по границам зерен при высоких температурах/. Наблюдается корреляция низких значений механической добротности с высокими температурами, близкими к адабатическим, которые обуславливают низкие вязкости вещества, различенные слои астеносферы, на глубине 70–270 км и у подошвы мантии. Ученые делают вывод, что зоны низких значений механической добротности  $Q_M$  соответствуют тепловым пограничиям. Предполагается и наличие пограничной на глубинах 700–900 км, но наличие его еще не доказано.

#### 2.6. Сейсмология Луны

В 1960 году американские сейсмологи получили первые лунные

17

РЕПОЗИТОРИЙ ГГУ

землетрясения. Источниками колебаний явились удары метеоритов, падение блоков ракет, луно-огненяния, приливные волны, калибровочные удары помощников. После удара 2,5-тонного и 15-тонного блока гидравлические колебания продолжались соответственно 1 и 4 часа. Амплитуда колебаний сначала возрастала 5-15 мин, затем медленно стабилизировалась. На Земле колебания от подобных источников продолжались не более 1-10 мин. Лунная запись сейсмограммы характеризуется нестационарными всплесками поперечных и продольных волн, практически отсутствием фазы поверхности волн, отличием формы записи вертикальных и горизонтальных компонент.

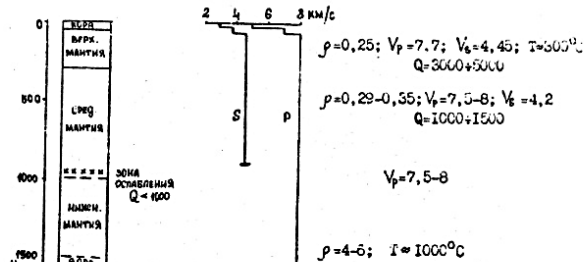
Геодинамические эксперименты на Луне дали следующие результаты: в верхнем слое Луны волны движутся с очень низкими скоростями. На глубине 10 км скорость их возрастает до 5 км/с. Луна разделена на отдельные слои, на границах которых с глубиной скорость растет скачком, что обусловлено смешанной генетической и химического состава.

Поверхность Луны покрыта слоем реголита 2-12 м/ плотностью 1,5-1,6 г/см<sup>3</sup>, пористость 50%, со скоростями волн  $V_p=100$  м/с,  $V_s=35$  м/с. Ниже идет слой брекчий мощностью 16-35 м, плотностью 1,7-1,8 г/см<sup>3</sup>, пористостью 50%,  $V_p=300\pm 50$  м/с,  $V_s=130\pm 50$  м/с.

Волны от источника колебаний распространяются в низкоскоростном разрезе, многократно отражаясь, почти не теряя полную энергию.

На Луне была открыта кора. В верхней ее части 20-25 км/ скорость сейсмических волн растет до значений 5-5,8 км/с. В нижней части коры скорость возрастает до 7 км/с. На глубине 60-65 км происходит разное увеличение скорости до значений 8 км/с и более. Это граница между корой иmantией. Внутри коры область на глубине 20-25 км отличается также возрастанием скорости, скачком с 5,8 до 6,8 км/с.

С углублением в мантию скорость сейсмических волн уменьшается вплоть до 150 км. Во внутренней области Луны на 800-1000 км от поверхности зафиксировано уменьшение скорости продольных волн и отсутствие поперечных. Возможно у Луны жидкое ядро? Возможно и другое объяснение - сильное поглощение энергии сейсмических волн в результате содержания в веществе летучих или жидкых компонент.



### III. СЕЙСМИЧЕСКАЯ АКТИВНОСТЬ ЗЕМЛИ

#### 3.1. География землетрясений, параметры

В зависимости от глубины очага землетрясения можно разделить на: неглубокие - до 70 км, промежуточные - 70-300 км, глубокофокусные - 300-720 км. Выделяются следующие сейсмические зоны земного шара: Альпийский пояс Европы, Памиро-Байкальский, Атлантическо-Арктический, Центральная часть Индийского океана, рифтовая зона Восточной Африки. Самой высокой сейсмичностью отличается Тихоокеанский кольцевой пояс. Однако слабые землетрясения с небольшой магнитудой случаются практически во всех районах земной суши, включая равнинные. Одним из таких районов является Белоруссия, где регистрируется до 50 в год слабых местных толчков. Не зарегистрировано землетрясения в Антарктиде.

Ощущаются землетрясения и при резких изменениях нагрузки на земную поверхность: техногенные землетрясения. Они связаны с быстрым заполнением или разгрузкой водохранилищ, сооружением плотин, изменением давления воды в скважинах /Индия, 1967 г., река Койна, водохранилище; Африка, р.Замбези, водохранилище; Греция, Кремаста, водохранилище; Нурек, 1972г., водохранилище; США, Колорадо, Денвер, 1962 г., закачка воды с скважин/.

Гипоцентр - место начала разрыва оплошности горяд. Эпицентр - точка над гипоценром на поверхности Земли. Очаг - вся зона раз-

РЕПОЗИТОРИЙ ГГУ

рушения пород, где происходит удар.

Смещение пород на поверхности Земли при слабых землетрясениях может быть всего несколько сантиметров, а при сильных - несколько метров. Например, при Сан-Францисском землетрясении 1906 г. - 6 м. Смещение пород могут быть как горизонтальные, так и вертикальные. Длина трещины, разлома может достигать сотен километров /Сан-Андреас, 1966 г. - 200 км; Чили, 1960 г. - 800 км/.

Возникшее в горных породах напряжение снимается разрушением, раскрытием, смещением блоков Земли. Энергия землетрясения расходуется на разрушение и смещение пород, а также излучается в виде сейсмических волн.

Землетрясения измеряются в баллах до I до XII. Баллы выражают интенсивность сотрясений, колебаний на дневной поверхности. I-XI баллы - слабые землетрясения, XII - сильные, приводящие к разрушениям, XIII-XIV - разрушительные. Наиболее сильное землетрясение Гоби-Алтайдское, 1957 г., - XII баллов. Число разрушенных и жертв зависит не столько от силы землетрясения, сколько от заселенности территории и сейсмостойкости сооружений. Землетрясения одинаковой величины охватывают различные по площади территории. Чем глубже гипотензир землетрясения, тем на большей площади будет ощущаться землетрясение. Таким образом, оценка в баллах не дает возможности классифицировать землетрясения по количеству выделенной энергии. С этой целью выбрана другая единица измерения - магнитуда.

Магнитуда - величина, пропорциональная выделенной при землетрясении энергии. Землетрясение имеет одну магнитуду, где бы она не измерялась, в то время, как величина максимальна в эпицентре и спадает к периферии до неодинаковых колебаний.

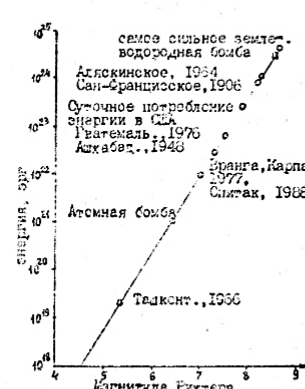
Для связи энергии и амплитуды используется формула Гутенберга:

$$E = 9,9 + 1,9M - 0,024M^2$$

Изменение магнитуды на единицу соответствует изменению выделившейся энергии в 35-48 раз. Энергия землетрясения с  $M=4,0$  и  $M=8,0$  отличается в 260000 раз, т.е. энергия одного землетрясения с ам-

плитудой 8,0 эквивалентна энергии 260000 землетрясений с магнитудой 4,0. Такое соотношение ставит под сомнение возможность снять напряжение блоков пород серии вызванных малых землетрясений, чтобы предотвратить разрушительное. Энергия самых сильных землетрясений эквивалента энергии водородной бомбы.

На Земле происходит ежегодно землетрясений с  $M>7$  около 20,  $M>5$  около 1000,  $M>3$  около 100000. Самое катастрофическое по последствиям землетрясение произошло в Китае в 1556 году, в результате которого погибло более 830000 человек, в 1976 году около 250 тысяч человек. На Земле ежегодно погибают от землетрясений в среднем 10000 человек.



Сейсмическая активность района проявляется в виде пиклического повторения землетрясений разного класса энергий. Чем выше магнитуда землетрясений, тем реже они происходят. Иногда сильных землетрясений может достигать 500-700 лет и более.

Тенденция смещения блоков земной коры в одном направлении при землетрясениях может быть длительной.

Так по Сан-Андреускому разлому прослежено общее смещение в 120 метров по горизонтали, а общее поднятие территории достигло площади 12 "тыс. км<sup>2</sup>", протянувшись дюль разлома на 150 км, с максимумом в 55 см.

Большинство землетрясений /70%/ происходит в земной коре, меньшая часть в пределах мантии, глубокофокусные землетрясения. Основная часть глубокофокусных землетрясений приурочена к Тихоокеанскому кольцу и Альпийскому поясу.

### 3.2. Причины землетрясений

На прояжении развития геологических наук выдвигались разно-

сформированные причины землетрясений. Основанием только на тех, которые имеют определенное значение в настоящее время.

Одна из многочисленных причинами землетрясений обрушение горных пород в полостях выщелоченных, вынесенных водой. Эта гипотеза придерживается С.Григорьев. Подавляющая часть ученых не придерживается этой гипотезы, которой невозможно объяснять скольнибудь значительные землетрясения на больших глубинах, мале энергия обвалов. Помимо этого пустоты, выщелоченные водой, будут заполнены водой и в этих условиях выделение энергии обрушения пород будет резко уменьшено и распределено во времени, что не приведет к сильному сейсмическому "затуханию". Но Григорьеву, для 7-балльного землетрясения необходимо обрушить 30-50  $\text{km}^3$  пород на площади 300-600  $\text{km}^2$  высоты 100 м. Нетрудно себе представить какие невообразимо огромные пустоты должны образовываться в Земле.

Техногенные землетрясения. Землетрясения вызваны деятельностью человека. В результате создания горных выработок, перемещения огромных масс пород, сооружения водохранилищ, плотин, закачки или откачки подземных вод наблюдаются землетрясения с очагом на глубине около 10 км. Во всех этих случаях происходит изменение напряженного состояния горных пород. В результате быстрого техногенного процесса геологические свойства пород не действуют. Напряжение не успевает постепенно перераспределиться, рассеяться и возникают импульсные разгрузки, землетрясение. Такие землетрясения ограничены небольшими площадями, не глубоким гипоценом. Но непосредственно вблизи эпицентра могут быть разрушительными в 7-8 баллов, может быть их достигает 7. Сильные землетрясения выделяют огромное количество энергии совершенно не сплошь связанной с энергией техногенного воздействия. Техногенные землетрясения являются спусковым механизмом, способствующим нарушению природного процесса. Таким образом, техногенные землетрясения также являются на самом деле техногенными. Осуществие определенных геологических признаков не приводит к возникновению землетрясения при заполнении крупных водохранилищ. В связи с этим интересно отметить, что дренажные зормы вызывают серии землетрясений, однако не на всем полигоне. Сделана специальная проверка на Алеутских островах. При взрыве ядерного заряда землетрясение не произошло, хотя район техногенных ядерных.

Главенствующая роль при техногенных землетрясениях принадлежит не грavitационной нагрузке, а изменению давления порово-речицких вод при заполнении водохранилища или снижении их уровня.

Земная поверхность получает значительные нагрузки в связи с выпадением дождя, снега, испарениемлаги, сносом материала водой, его перераспределение, однако, не отмечается влияние этих причин на сейсмичность территории. Очевидно, величина этой нагрузки и распределение её на значительные площади находится в пределах устойчивости горных пород и возможности и геологическим свойствам передавать энергию возникающим напряжениям.

Основной причиной землетрясений является "технические напряжения". Накапливющиеся напряжения в каждый момент превосходят предел прочности пород и под действием упругих касательных напряжений в очаговой зоне происходит разрыв с перемещением блоков относительно друг друга в горизонтальной или вертикальной плоскости. Энергия землетрясений накапливается в результате упругих деформаций горных пород. Такая причина подготовки землетрясения принимается практически всеми исследователями вне зависимости от их приверженности к гипотезе "исбиразма" или "фиксизма".

Наиболее согласованной с научными данными оказывается гипотеза движения атмосферных плит. Большинство землетрясений /95%/ происходит по краям плит. Максимум /90%/ отличается Тихоокеанский пояс. Внутриплитовые землетрясения возникают в результате развязивания деформаций, вызванных давлением по краям плит. Не следует исключать также и геолого-технические силы, которые могут возникнуть в земной коре и мантии внутри плит в результате неравномерности протекания геологических процессов.

Небольшая группа землетрясений связана с вулканической деятельностью, которая в большинстве случаев тесно связана с краями плит.

### 3.3. Модели землетрясений

Сейсмическая энергия, накапливаемая в среде, расходящаяся в очаге землетрясения. Чем больше энергия землетрясения, тем больше очаг, его протяженность / $l$ /.

$$lg l / \text{km} = 0,5 M - 1,8.$$

Поэтому протяженность очаговых зон землетрясений больших амплитуд составляет сотни километров. После образования главного разрыва возникают вторичные разрывы /повторные очаги/. Часто эти разрывы происходят в перпендикулярных плоскостях основному. Изменяющаяся в очаге энергия изменения термодинамические параметры среды, что может повлиять на температуру и вызвать фазовые превращения, изменения объема и прочности.

Лабораторные исследования образцов пород при высоких давлениях показывают, что первоначально при постоянном давлении идет изменение объема, происходит резкое сжатие, затем скорость сжатия уменьшается и через длительное время прекращается. Такая же зависимость наблюдается и при снятии давления. Т.е. освобождение накопленной энергии происходит по логарифмической зависимости. Основной источник землетрясения сопровождается афтершоками. Чем меньше глубина землетрясения, тем выше вероятность афтершоков. Неглубокие землетрясения часто приобретают характер ряда землетрясений с невозможностью выделить главный толчок. Спитакское землетрясение характеризуется магнитудой  $M = 7,0$ ; бальность в эпицентре 10 баллов, глубина гипоцентра 10–20 км. Процесс высвобождения энергии происходит ступенчато. Выполнено 4 основные фазы с интервалами 5–15 сек., последняя 4 минуты 20 секунд. В каждой фазе вспыхивал новый участок глубинного разлома земной коры. Предполагается, что в первой фазе разрыв составил 12 км, образовав ступень высотой 1 м и почти метровый сдвиг.

Тектонический разрыв любого землетрясения формируется несколькими стадиями:

1. Появление и разрастание множества изолированных трещин.
2. Лавинообразное разширение перемычек трещин, развитие общего разрыва.
3. Возникновение напряжений краев разрыва, образование трещин.
4. Продолжение смещения бортом разрыва.
5. Залечивание полости разрыва.

Модель лавино-нейсточичного трещинообразования /ДНТ/. На разной стадии подголовки землетрясения происходят изменения количества, размеров и ориентации трещин, которые сливаются образуя крупные разрывы сливающиеся в основной, приводящий к землетрясению. В зоне разрыва развиваются неупругие деформации, в периферийной – упругие деформации уменьшаются по мере ослабления напряжения.

Дилатантно-диффузионная модель /ДДЧ/. На первой стадии подголовки землетрясения напряжение возрастает до определенного уровня, когда появляются открытые трещины – дилатанции. Давление воды в трещинах падает, часть их отрушается, что вызывает упрочнение пород. В зону устремляется вода из соседних участков, прочность падает, происходит разрыв, вызывающий землетрясение.

24

### 3.4. Сейсмическое районирование

Для выработки определенных норм и критериев, препятствующих и сопротивляемому сооружений проводят сейсмическое районирование. Оно заключается в построении карт возможных максимальных землетрясений на данной территории. Построение таких карт – сложная задача. Надо учиться землетрясениям максимальной сильности не за ограниченный период наблюдений, а определять возможные максимальные землетрясения. Дело осложняется тем, что наиболее сильные землетрясения могли происходить в изучаемой местности слишком давно и не зафиксированы в памяти людей, а сеть сейсмостанций развернута сравнительно недавно. Примером досадных ошибок может служить Ленинаканское землетрясение в Армении в 1988 году. Повторяемость сильных землетрясений может составлять годы, а то и тысячи лет.

Составление карт сейсмического районирования учитывает и изучение следующие факторы:

1. Геологическое строение района.
2. Тектоническую активность.
3. Глубины очагов землетрясений.
4. Зафиксированные исторические землетрясения.
5. Повторяемость землетрясений.
6. Исследование ландшафта с целью обнаружения последствий исторических землетрясений.

Недооценка сейсмической опасности приводит к огромным материальному ущербу, особенно в наше время. В связи с этим пришлося останавливаться неко-какие аномальные станции, прекращать их строительство. Много кто в Белоруссии предсказывает себе возможность землетрясения, однако изучение всех факторов показывает возможность УИ-УИ бальных землетрясений местных очагов.

### 3.5. Прогноз землетрясений

На территории нашей страны создана Единая система сейсмических наблюдений /ЕССН/. Задача системы – регистрация землетрясений, определение их параметров, сейсмическое районирование. В ее же систему входит специальные партии, отряды, занимающиеся изучением вопросов прогнозирования землетрясений. Разработкой этих вопросов заняты многие научные сейсмологи, отданы других исследовательских институтов и кузов.

Исходя из модели подголовки землетрясений, анализа различных

25

изменений геолого-гидрогеологических признаков, изменения геофизических полей, связанных с землетрясениями отмечены следующие показатели: изменение уровня подземных вод, их химического состава, концентрации растворенных газов; изменения наклона дневной поверхности, расстояния между реферами, уровня дневной поверхности; изменения скорости сейсмических волн, электропроводности, геомагнетизма, земного электричества; изменение поведения животных. Критерии прогнозирования землетрясения можно подразделить на геокимические, геофизические, деформационные, геодинамические, гидрофизические.

Казалось бы, проблема достаточно хорошо решается. Но проблеме не решена до сих пор. Есть только единичные удачные прогнозы.

Прогноз заключается в определении места, мощности и времени землетрясения. Выделяют долгосрочные и краткосрочные прогнозы. Составление прогноза можно сконструировать следующим образом: каждому землетрясению предшествуют определенные или многие признаки, но на каждом сочинении признаков следует землетрясение. Решение прогноза неоднозначно. Наблюдаемые признаки находятся в пределах слабого изменения соответствующих полей на фоне значительных помех, связанных с амплитудой соотвествующего признака.

Уверенно действуют статистические прогнозы по обработке частоты и магнитуд наблюдаемых ранее землетрясений. Но эти прогнозы не дают точного времени события, а только его вероятную частоту и магнитуду.

Работы по прогнозу землетрясений накапливают знания по закономерностям изменения различных полей; улучшают аппаратурно-методические базы, выявляют наиболее информативные группы признаков. Все это несомненно приближает решение задачи прогноза. Попутно решаются и конкретные задачи гидрогеологии и гео-экологии, нефтегазики и прогноза нефтеносности.

#### IV. ГРАВИТАЦИОННОЕ ПОЛЕ. ФИГУРА ЗЕМЛИ

##### 4.1. Сила тяжести

Гравитационное поле Земли является следствием распределения масс в недрах Земли и тесно связано с её формой. Гравиметрия Земли используется в решении вопросов геодезии и топографии, космонавтики, астрономии и строения Земли.

На любую точечную массу на Земле и внутри её действует две силы: сила тяжести и центральная сила.

26

$$F = -\frac{m_1 m_2}{r^2}; \quad R = \bar{\rho} r^2 \omega^2.$$

Эти две силы в сумме составляют силу тяжести. Сложение силы тяжести к единичной массе даёт ускорение в данной точке, напряженность поля силы тяжести, гравитационное поле. Центральная сила изменения от нуля на полюсах до максимума на экваторе. Сила тяжести в связи с эллиптичностью Земли от полюса к экватору уменьшается.

Среднее значение  $g = 979,700$

Изменение от полюса к экватору - 5200

за счет центральной составляющей - 3400

за счет сплюснутости - 1800

Изменение при перемещении на 1 м по высоте - 0,3

Лунно-солнечные возмущения - 0,4 мгл.

##### 4.2. Фигура Земли

Ньютон был первым ученым, выдвинувшим положение о том, что Земля не сфера, а эллипсоид вращения. Схема Земли составляет:

$$\frac{R_3 - R_n}{R_3} = 1/297 = 0,00336700$$

Экваториальный радиус равен  $R_3 = 6378,386$ ; полярный -  $R_n = 6356,912$ ;  $R_3 - R_n = 21,476$  км. Скорость вращения  $\omega$  на экваторе - 465 м/сек, средняя скорость движения по орбите - 29,8 км/сек, расстояние до Солнца -  $149,504 \cdot 10^6$  км = 24439  $R_3$ , до Луны - 384400 км.

Гравитационное поле является потенциальным и сила тяжести - первая производная гравитационного потенциала

$$W = G \frac{dm}{r^2} + \frac{w^2}{2} r^2, \quad g = \frac{GM}{r^2} + w^2 r^2.$$

Поверхности равного потенциала называются уровнями поверхности. Тщательное измерение фигуры Земли показало, что её фигура отличается от правильного эллипса вращения в связи с рельефом Земли и неравномерным распределением внутренних масс. Наиболее точно отражает фигуру Земли потенциальная поверхность, называемая геоидом. Это неправильная поверхность, поэтому не может характеризоваться аналитически, хотя расхождение между поверхностью сфероида и геоида не превышает 100 м. Гесид - это уравненная поверхность мирового океана и её продолжение на континенты. Для расчета фигуры Земли аналитическими формулами имеется ряд формул в зависимости от сечения приближения к геоиду: шар, сфероид, фигура Клеро, Красовского.

27

РЕПОЗИТОРИЙ ГГУ

Гильмера, Кассиника и др. Земля представляется двусмы и трехсмы эллипсоидами вращения.

Движение искусственных спутников Земли, испытывающих влияние её поля тяготения, дали возможность более подробно судить о гравитационном поле Земли. Наличие у Земли экваториального сжатия вызывает перемещение плоскости орбиты спутника в 10° в сутки в направлении противоположном направлению движения спутника. Кроме этого краевая сила и полюса эллипса орбиты спутников. Экватор Земли не является скрученным, а является (разность полушарий - 100 м). Симметричные грушевидные формы Земли. Уровенная поверхность на южном полушарии ближе к центру на 30 м, чем на северном полушарии.

#### 4.3. Момент инерции Земли

Для любого движущегося тела можно рассчитать момент инерции. Момент инерции вращающегося тела зависит от распределения массы от поверхности к оси вращения. Для однородной модели Земли безразмерный момент инерции  $I = 0.4$ .

При росте плотности от периферии к центру величина момента инерции будет уменьшаться, при росте плотности к периферии - увеличиваться. Для Земли значение  $I$  составило 0,33076 по данным наблюдений, что подтверждает положение о высокой плотности ядра планеты.

#### 4.4. Изостазия

В глубинных недрах Земли происходят процессы, приводящие к понижению плотности: разогрев, плавление. В этом случае возникают архимедовы силы выталкивания. Плотность вещества растёт с глубиной за счёт сжатия под действием вытесняющих пород, за счёт увеличения концентрации тяжёлых элементов с глубиной.

Положение поверхности геоида достаточно хорошо определяется по гравитационным измерениям и по спутниковым измерениям. Также определено гипсометрическое положение поверхности Земли. Из теории гравитации известно, что горы и впадины влияют на гравитационное поле как объекты с избыточной массой и дефицитом массы. Казалось бы керта поверхности геоида и керта поверхности Земли должны быть хорошо согласованы, повторять друг друга. Однако, этого не происходит. Горы и континентальные области изостатически скомпенсированы. Они плавают в подкоре субстрата, как гигантские лёдовые айсберги, подчиняясь гравитационной силе выталкивания. Лёгкая кора, состоящая из

28

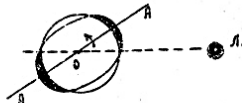
границы и базальта, уравновешивается не более тяжёлой мантией. И чем выше гора, тем больше должна быть мощность её погруженной части, тем больше "корни" гор. Наличие гор почты не склоняет ся на величине гравитационного потенциала. Такая закономерность получила название изостатического равновесия.



В тоже время известно, что мантия находится в твёрдом состоянии, в чём существуют поперечные сейсмические волны, относительно слабые приливные волны. Т.е. мантия ведёт себя как твёрдое тело и как жидкость. В первом случае для процессов кратковременных в жизни Земли, во втором случае - для длительных процессов с периодами порядка десяти и более тысяч лет. Период релаксации составляет  $10^{10}$  лет. Вязкость мантии составляет  $10^{21}$  пас., очень большая.

#### 4.5. Земные приливы

Приливы наблюдаются в атмосфере, океанах, морях, твёрдой части Земли - континентах, естественно называемых земными приливыми. Луна и Солнце являются источниками притягивающих сил.



Когда Луна располагается над точкой наблюдения, сила тяжести уменьшается. Уровенная поверхность её перемещается в сторону Луны. На противоположной стороне Земли в это время созданы условия минимального взаимодействия между Луной и массой восточной части Земли, согласно закону всемирного притяжения  $F = \frac{M_1 M_2}{r^2}$ , в связи с мал-

29

РЕПОЗИТОРИЙ ГУРУ

симальным значением расстояния между этими небесными телами. Приливобразующая сила на противоположной части Земли будет меньше, чем не обращенной к Луне. На линии перпендикулярной направлению взаимодействия Луна-Земля наблюдается отлив. Величина приливобразующей силы зависит от силы притяжения Луны-Земли и скорости вращения Земли. Если бы Земля не вращалась имелась бы прилив только на обращенной части к Луне. В связи с вращением Земли здесь сила притяжения Земля-Луна и центробежная сила складываются, и приливобразующая сила максимальна. На обратной стороне Земли центробежная сила направлена от Луны, а гравитационная сила притяжения Луны минимальна, разность этих сил и является приливобразующей силой, но направлена в противоположную от Луны сторону.

Если бы Земля была идеально упругая, то приливные деформации Земли были бы максимальны на линии Земля-Луна. Но вращение Земли имеет вязкость, деформации его не будут идеальными. Максимальная деформация возникает позже времени максимального напряжения, а приливной выступ будет смещен от линии центров Земля-Луна по направлению вращения Земли, т.к. Земля имеет большую угловую скорость вращения, чем скорость вращения Луны вокруг Земли.

Надличие вязкости вещества Земли приводит к возникновению трения между частицами вещества. Наличие угла между силой взаимодействия центров Земля-Луна и линий, соединяющей максимальные приливные деформации приводит к возникновению момента сил, направленных изнутри, в моменту вращения Земли. Выступ А стремится ускорить движение Луны по орбите, что приводит к потере энергии вращения Земли, замедляя ее вращение и сдвигает Луну от Земли. Примерно 400 млн. лет назад земные сутки содержали 22 часа. Силы притяжения Луны и Солнца вызывают смещение центра масс Земли, не совпадение оси вращения Земли и главных осей инерции, что приводит к нутационным колебаниям оси Земли.

Наибольший подъем уровневой поверхности в см:

от Луны - 35,6; Солнца - 16,4;  
от Луны - 17,8; Солнца - 8,2.

При положении Земля, Луна, Солнце на одной прямой амплитуда перемещения поверхности Земли составляет 78 см. Приведенные данные верны для Земли с идеальной жидкотекучей оболочкой. Для абсолютно твердой Земли приливы отсутствовали бы. Реальная деформация Земли составляет 65% от идеального прилива и максимальное колебание земной поверхности на экваторе составляет 51 см.

30

Явления приливов в атмосфере и океанах объясняются силами, рассмотренными выше. Океанические и морские приливы осложнены конфигурацией береговой линии, непрерывностью и силой ветра, глубиной и некотором тепловой зоной и в отдельных условиях может достигать 50 м, при среднем значении 12 м.

Лунно-солнечные приливы имеют значительно более сложную характеристику, чем рассмотренные выше. Рассмотренные приливы имеют максимальную амплитуду. Но кроме этого имеются приливы подины с другими периодами в связи с тем, что Луна имеет сложную орбиту движения, разную скорость, а также наложенные орбиты к экваториальной плоскости Земли. Наблюдаются следующие периоды лунных энантиорильных приливных волн: 124,2мин; 124,11мин; 114,35мин; меридиональных - 14 суток. Имеются и другие периоды волн небольших амплитуд.

#### 4.6. Изменение силы тяжести

Вековые изменения силы тяжести:

1. Переизмерность вращения Земли приводит к изменению центробежной составляющей силы тяжести. Наблюдается вековое ускорение вращения, уменьшение длины суток. Ускорение вызывает перегревание масс и экватора, изменение склония Земли.
2. Активная жизнь Земли: вулканическая деятельность, движение плит, конвекционные процессы, ветровые движения, физико-химические процессы вызывают изменение силы тяжести.
3. Изменения гравитационной постоянной. Эта гипотеза еще не проверена в связи с невозможностью достичь достаточной точности наблюдений.

Изменения силы тяжести с глубиной. Изменения силы тяжести с глубиной зависят от ее величины на поверхности Земли и от распределения плотности в толще Земли. Если допустить, что вся масса Земли сосредоточена в ее центре, тогда сила тяжести непрерывно возрастала бы с глубиной и стала максимальной в центре. При однородной Земле будем наблюдать непрерывное уменьшение силы тяжести с глубиной до нуля в центре. Эта формула получена из формулы:

$$g = \frac{4}{R^2} \int dm = \frac{4}{R^2} \int_0^R 4\pi r^2 dr = \frac{4\pi}{R^2} \int_0^R r^2 dr.$$

Увеличение плотности вещества Земли с глубиной и наличие резких границ изменения плотности земной коры-мagma-внешнее ядро-внутреннее ядро сила тяжести увеличивается с глубиной до подошвы коры, затем начинается уменьшение с небольшим минимумом на глубине около

31

РЕПОЗИТОРИЙ ГГУ

1500 км, дальнейшее увеличение силы тяжести достигает минимума на границе мантии-ядра, после чего уменьшается до нуля к центру Земли.

#### У. ПЛОТНОСТЬ И УПРУГИЕ ПОСТОЯННЫЕ ЗЕМЛИ

##### 5.1. Однородная модель

Эта модель является простейшей и была исторически исследована первой. Для вычисления средней плотности Земли необходимо знать её массу и объём.

$$\rho_m = \frac{M}{V}$$

Объем Земли определяется по астрономическим или геодезическим наблюдениям, измеряя кривизну или длину градуса склонности, экватора. Массу Земли находят несколькими методами. Их можно разделить на две группы. К первой относится методы сравнения массы Земли с массами других известных геологических объектов, ко второй — с массой относительно небольших предметов. Используется известная формула:

$$F = \frac{4}{3} \pi R^3 ; M = 5,98 \cdot 10^{27}$$

Средняя плотность Земли оказалась равной  $\rho = 5,52 \text{ г/см}^3$ . Распределение ускорения силы тяжести с глубиной подсчитывается:

$$\theta = \frac{4}{3} \frac{m}{R^3} , \text{ где } \frac{4}{3} \cdot 6,67 \cdot 10^{-8} \text{ см}^3/\text{г} \cdot \text{с}^2 - \text{масса, заключенная внутри сферы радиуса } R .$$

При однородной модели  $m = \frac{4}{3} \pi r^3 \rho$ .

Далее:  $\theta = g_0 x , g_0 = \frac{4}{3} \pi r^2 \rho , x = \frac{r}{R} , g_0 = 1000 \text{ см/с}^2$ .

$x$  — измеряется от единицы на поверхности до нуля в центре планеты.

В однородной модели ускорение силы тяжести измеряется по закону от максимума на поверхности до нуля в центре планеты.

Давление на глубине равно весу вышележащих пород. Для расчета давления разбивают планету на тонкие оболочки, где принимают значение плотности и ускорение силы тяжести постоянным. Определяют вес пород на единицу площади в каждой оболочке, затем суммируют.

$$P_k = \sum_{i=1}^k \rho_i g_i L_i ; P = P(0) [1 - x^2] , P(0) = \frac{1}{2} g_0 R^2 K = 1,73 \cdot 10^6 \text{ бар.}$$

В однородной модели давление расчет по квадратичному закону от нуля на поверхности до  $1,73 \cdot 10^6$  бар в центре Земли. Однако в реальной Земле, в центре, плотность вещества очень большая, давление нарастает быстрее и в центре в два раза больше  $3,6 \cdot 10^6$  бар.

32

#### 5.2. Реальная модель Земли

Измерение плотности доступных пород и материалов показало, что среднее значение 2,52 для осадочных пород, 2 для пород дна океанов — 2,85–3,05. Плотность метеоритов каменных — около 3,0; железных — около 4,5. Эти данные, а также модель Земли по сейсмическим данным дают основание предполагать, что планета имеет плотное ядро.

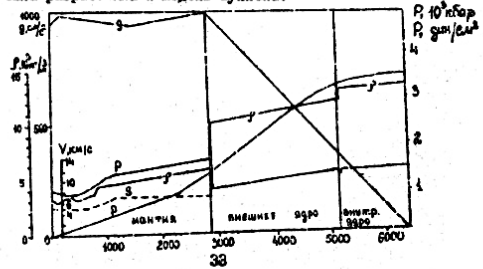
Плотность Земли должна распределяться таким образом, чтобы выполнялось условие:  $\int_{0}^{R} \rho^2 dR = K = 5,52$

и чтобы плотность верхних слоев соответствовала измеренным значениям. Сейсмические исследования показали, что внутри Земли с глубиной плотность изменяется не плавно, а скачками. Глубины соответствующих границ определены: земная кора, мантия, внешнее и внутреннее ядро, имеющие менее контрастные границы и внутри мантии. Для определения плотности внутри Земли используется сложный, но наиболее точный метод анализа по распределению скорости сейсмических волн. Известны следующие зависимости:

$$\Phi = \frac{K}{\rho} = V_p^2 - \frac{4}{3} V_s^2 ; K = \frac{\rho}{\Delta \rho} \Delta x - \text{модуль всестороннего сжатия.}$$

Для Земли известны распределения скоростей с глубиной для продольных и поперечных волн, впервые надежно определенные Джейфрисом и Гутенбергом.

Закон нарастания давления с глубиной:  $dP = \rho g dx , dP = \frac{\rho g}{\Phi} \Delta x ,$  закон Адамса-Бильямсона. Распределение параметров плотности и давления с глубиной были определены Буллердом в конце тридцатых годов. Позже была разработана и модель Буллена.



РЕПОЗИТОРИЙ ГГУ

Верхним пределом плотности внутри ядра является плотность 18 г/см<sup>3</sup>. Бульвард дает значение 12,6, Буллен - 20 г/см<sup>3</sup>.

### 5.3. Упругие постоянные. Число Лява

Упругие свойства тела определяются двумя из следующих модулей: модулем объемной упругости - К (вес-сжатие), характеризующим изменение объема; модулем сдвига  $\mu$ , характеризующим изменение формы; модулем упругости Е/модулем Юнга, характеризующим изменение длины стержня; коэффициентом Гуассона  $G$ , характеризующим соотношение сжатия к удлинению; постоянной Лява  $\lambda$ .

В однородном идеально упругом теле выполняются соотношения:

$$K = \frac{1}{3} \cdot \frac{E}{1-2G} = \frac{2M(1+G)}{3(1-2G)} = \lambda + \frac{2\mu}{3} = \mu \cdot \left( V_p^2 - \frac{4}{3} V_s^2 \right) = \mu \cdot 2;$$

$$\mu = \frac{1}{2} \cdot \frac{E}{1+G} = \frac{3K(1-2G)}{2(1+G)} = \frac{3}{2} (K - \lambda) = \frac{\lambda(1-2G)}{2G} = \mu V_s^2;$$

$$\lambda = \frac{G E}{(1+G) \cdot (1-2G)} = \mu (V_p^2 - 2V_s^2);$$

$$E = 3K(1-2G) = 2M(1-G) = \mu \frac{V_p^2 - 4V_s^2}{\left(\frac{V_p}{V_s}\right)^2 - 1};$$

$$G = \frac{\lambda}{2(\lambda + \mu)};$$

$$V_p^2 = \frac{2M(1-G)}{\mu \cdot (1-2G)}; \quad V_s^2 = \frac{\mu}{E}; \quad \left(\frac{V_p}{V_s}\right)^2 = 1 + \frac{1}{1-2G}.$$

Для большей части мантии коэффициент Гуассона  $G=1/4$ . В этом случае:

$$\begin{cases} M = \lambda = \frac{2E}{5} = \frac{3K}{5} = \mu V_s^2 = \mu \frac{V_p^2}{\frac{3}{2}}; \\ E = \frac{3K}{2} = \frac{5M}{2} = \frac{5\mu V_s^2}{2} = \frac{5\mu V_p^2}{9}; \\ K = \frac{2E}{3} = \frac{5M}{3} = \frac{5\mu V_s^2}{3} = \frac{5\mu V_p^2}{9}; \end{cases}$$

$$\left(\frac{V_p}{V_s}\right)^2 = 3; \quad V_p = 1,732 V_s.$$

Для идеальной жидкости  $M, E, V_s$  равны нулю,  $G=1/2$ ,  $\lambda=\mu=\rho V_p^2$ .

При исследовании земных приливов Лява имеет две константы:  $h$  и  $K^*$ . Величина  $h$  определяет отклонение высоты твердого земного прилива к высоте геоцентрического равновесного прилива в океане. Величина  $K^*$  - соотношение дополнительного гравитационного потенциала в связи с деформацией Земли, к деформационному потенциальному. Третью постоян-

ную  $\ell$ , ввел Шада,  $\ell$  - соотношение горизонтального смещения земного пролива к смещению соотвествующего геоцентрического сжатия-растяжения прилива.

В однородной жидкости сфере  $K=1$ ,  $K^*=0,6$ ,  $\ell=0,3$ , в абсолютно твердой сфере все три постоянных равны нулю: Для однородной твердой сферы с  $\rho$ ,  $M$  и радиусом  $R$ , существует следующее выражение для числа Лява:

$$h = \frac{3\ell}{2\ell+1}; \quad K^* = \frac{3\ell}{2\ell+1}; \quad \ell = \frac{3\ell}{2(2\ell+1)}, \text{ где } \ell = \frac{0,91}{19M};$$

$$K^* = 0,6 h = 2\ell.$$

Значения чисел Лява определяются по наблюдениям за земными приливами, свободной кучиющей Земли.

$$K \approx 0,25; \quad h \approx 0,6; \quad \ell \approx 0,31.$$

Коэффициент жесткости пропорционален тангенциальному напряжению, которое необходимо приложить, чтобы получить сдвиг. В земной коре и верхней мантии жесткость должна возрастать с ростом давления и уменьшаться с увеличением температуры. Жесткость гранитного слоя  $(2-3) \cdot 10^{11}$  дин/см<sup>2</sup>, осадков  $(1-2) \cdot 10^{11}$ , габбро  $(3-4) \cdot 10^{11}$ , слюдистых -  $(5-6) \cdot 10^{11}$ , мантии -  $(5-20) \cdot 10^{11}$ , ядра -  $2 \cdot 10^{12}$  дин/см<sup>2</sup>. Однако до удовлетворительной точности результатов еще далеко.

Модуль объемной упругости  $K$ , соотношение напряжения сжатия к объемной деформации

$$K = - \frac{\Delta P}{\Delta V} W, \quad \Delta P - \text{изменение давления}, \quad \Delta V - \text{изменение объема}.$$

Чем больше модуль объемной упругости, тем меньше скимаемость. При увеличении давления модуль объемной упругости быстро возрастает, что связано с процессом закрытия пор в горных породах (глубина до 5 км). При дальнейшем росте давления после 1500 атм. увеличение модуля объемной упругости происходит медленно.

Значения  $K$  для базальта -  $4 \cdot 10^{11}$ ; габбро -  $8 \cdot 10^{11}$ ; дунита -  $12 \cdot 10^{11}$  дин/см<sup>2</sup>; мантии -  $(2-6) \cdot 10^{12}$ , внешней ядре -  $(6-12) \cdot 10^{12}$ , внутреннем -  $(12-16) \cdot 10^{12}$  дин/см<sup>2</sup>.

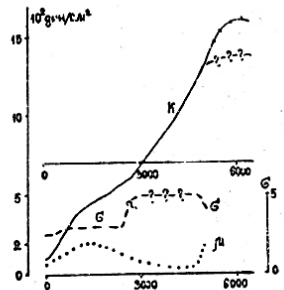
Коэффициент Гуассона характеризует соотношение поперечного сжатия к продольному расширению  $\Delta \ell / \ell$ .

$$G = - \frac{(ad/a)}{(\ell \ell' / \ell)}$$

Наибольшим значением может быть  $G=0,5$ , для мантии материала не имеющего жесткости ( $M=0$ ) или для нескимаемого материала (К очень

велико). Для внутренних частей Земли  $\delta$  рассчитывается по соотношению скоростей продольных и поперечных волн. Для большинства горных пород  $\delta \approx 0,25$ . Для верхней границы  $\delta \approx 0,27$ , нижней - 0,3, внешнего ядра - 0,5, уменьшающейся в переходной зоне до 0,4.

Модуль Юнга  $E$  - отношение напряжения растяжения к деформации. Модуль Юнга составляет около  $(0,25-0,28) \mu$  в мантии,  $3 \mu$  - во внешнем ядре,  $2,75 \mu$  - во внутреннем ядре.



Нutation Земли. Если ось вращения Земли не совпадает с главной осью инерции, то она описывает круговой курсус около оси инерции с "периодом Чандлера"  $T$ .

$$T_0 = \frac{A \cdot C}{C - A} ds, \quad A, C - \text{коэффициенты инерции}$$

$ds$  - продолжительность суток  
 $T_0$  - период для абсолютно жесткой сферы.

С 1900 года ведутся непрерывные наблюдения свободной нутации Земли. Значение  $T_0=305$  суткам. Значения периода нутации Земли колеблются от 414 до 440 суток. Азимутальное движение имеет период в 1 год. Сочетание этих двух движений приводит к спиралевидным движениям с максимальными амплитудами через 7 лет.

## VI. ГЕОТЕРМИКА

### 6.1. Источники тепла

Источники тепловой энергии Земли находятся как внутри её, так и вне. Внешний, основной космический источник - это излучение Солнца. Вероятно, меньшее значение оказывают излучения: звезд, галактик. Инфракрасное излучение Солнца нагревает атмосферу и поверхность Земли. Солнечной радиации Земля получает  $10^2$  ккал/см<sup>2</sup> сек. Выделяющаяся тепловая энергия в результате теплообмена континентальной и кондуктивной проникает в глубь земной коры, по данным некоторых исследователей, на сотни метров. Под действием космического излучения  $\mu$ -частиц нейтрально проходит выделение тепловой энергии на больших глубинах. Более 50% составляющие космического излучения приводят к образованию радиоактивных элементов и радиоактивных изотопов. Если этот процесс значителен, тогда закономерно объясняется уменьшение радиоактивных элементов с глубиной и равнство тепловых потоков в континентальных и океанических зонах.

К внутренним источникам выделения тепловой энергии относится распад радиоактивных элементов, приданное тепло в результате воз действия Луны и Солнца, гравитационных дифференциаций, энергия фазовых, полиморфных переходов, химических реакций. Ежегодное значение для "земли" Земли имеет её нагрев в процессе формирования. Суммарная генерация тепла в Земле в 2-3 раза больше её излучения в космическом пространстве, которое составляет  $1,5 \cdot 10^{-9}$  ккал/см<sup>2</sup> сек, в всей Земле -  $0,77 \cdot 10^{13}$  ккал/сек или  $9,9 \cdot 10^{27}$  эрг/год. За время существования Земли  $4,5 \cdot 10^{17}$  лет, её излучение составляет  $4,5 \cdot 10^{37}$  эрг/год. Более 50% тепловой энергии внутренних источников Земли представляют следующий,  $10^{31}$  Дж.

Радиогенетическая, образование Земли - 30

Почвенночная гравитационная - 25

Упругая (сжатый планеты) - 2

Гравитационной дифференциации - 1,5 - 2,0

Замедления скорости вращения - 0,35

Колебаний скорости вращения - 2

Тепловая энергия Земли является источником её активной геоморфической жизни, замещения, метаморфических и тектонических процессов. Достаточно точных оценок производимой в Земле тепловой энергии не существует. Кроме того возможны еще и другие источники, которые

рые в насторожнее время не изучены.

#### 6.2. Механизм передачи тепла

Существуют различные механизмы теплопередачи в Земле. В земной коре передача тепла осуществляется путем молекулярной теплопроводности, конвекции и лучепропускания. Теплопроводность горных пород находится в широких пределах, достигая 7,75 вт/м град, при среднем значении 2-3,5 вт/м град. С увеличением температуры возрастает роль лучистой и других видов (аксионной, электронной) теплопроводности. Молекулярная компонента убывает с ростом температуры. На глубине около 100 км существует зона минимума относительно небольшой суммарной теплопроводности, что приводит к окраинному эффекту. Ниже зоны минимума теплопроводности идея о ее увеличении и на глубине около 1000 км, теплопроводность Земли в 10 раз больше, чем теплопроводность земной коры.

#### 6.3. Температура Земли, геотермический градиент

На поверхности Земли температура фиксируется от +50 до -50°C. Наименьшие ее колебания в течение года наблюдаются на экваторе и наибольшие в средних широтах и на полюсах. Дно океана имеет температуру близкую к 4°C. В верхних частях земной коры наблюдаются периодические колебания температур со временем, связанные с периодами суток, лет, веков, что собственно связано с изменением солнечной радиации, климата, оледенения. Периодически годовые колебания температур замечены на глубинах до 10-100 м. Более длительные периоды колебаний температур наблюдаются на больших глубинах. Так средняя глубина залегания постоянных суточных температур - 1 м, годовых - 10-20 м. Величина постоянных годовых температур (нейтрального горизонта) увеличивается от минусовых значений на полюсах до +25-50°C на экваторе. Зоны с определенными значениями температур нейтрального горизонта, являющиеся зонами вечной мерзлоты, мощность которых может достигать сотен метров и нескольких километров (Антарктида, Гренландия).

Ниже нейтрального горизонта наблюдается увеличение температуры от 1,5 до 5°C/100 м со средним значением около 3,3°C/100 м. Геотермический градиент различен для разновозрастных структур, из-за структур, геохимической активности, разновидностей пород, различных глубин. Существует общая закономерность уменьшения геотер-

36

мического градиента с увеличением возраста структуры,  $10^{-2}$  град/м, Альпийские кристаллические днины (Балканский, Украинский)-0,8-1 Герцинские, каледонские области (Урал, Саяны, Алтай, Тянь-Шань) - 1,5-3,5

Альпийские (Карпаты, Кавказ) - 2-6.

Повышенные геотермические градиенты обладают зонами средиземно-океанических хребтов, вулканических поясов -  $(3-20) \cdot 10^{-2}$  град/м.

Температурный градиент сквозного дна Тихого океана - 2,1-2,15, Атлантического - 2,4-5,5°C/100м.

Кольская сверхглубокая скважина дала возможность рассмотреть изменения температурного градиента с глубиной. Так, в верхней зоне до 8 км геотермический градиент составлял 1,0°C/100 км, далее он увеличивался в среднем в два раза.

Для определения температуры на больших глубинах используя значение среднего градиента, температуру расширяющейся лавы, зависимость электропроводности от температуры. Исходя из среднего градиента температуры земной коры можно предположить, что на глубине 100 км температура составляет не более 200°C. Расплавленныемагмы дают температуру около 1200°C. Так как магма находится в твердом состоянии, то по лабораторным исследованиям верхний предел температуры плавления на глубине 100 км составляет около 1500°C.

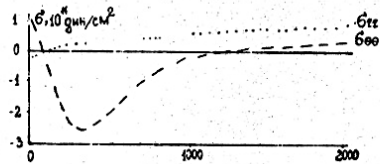
Земное ядро находится в расщепленном состоянии, поэтому нижний предел его температуры, исходя из железного состава и давления  $1,4 \cdot 10^9$  бар, будет около 4600°C. Во внешнем ядре происходит слабая конвекция вещества, что приводит к образованию магнитного поля. При температурах выше единичной в ядре возникает сильная конвекция и быстрый вынос тепла к границе мантии. Условиям слабой конвекции соответствует температура (4-5)  $10^3$  K.

Реальная температура является температурой на глубине 400 км в зоне флювогенного перехода оливин-спинели.

При температуре, близкой к плавлению вещества его электропроводность повышается, эти зоны могут быть установлены по данным магнито-вариационного зондирования. Зоны высокой проводимости обнаруживаются в различных геотектонических областях. В рифовых зонах (Байкал), зонах кайнозойского вулканизма (Япония, Венгерская впадина, Восточная Камчатка) слой повышенной проводимости находится на глубине 50-100 м, в кайнозойских прогибах - 200, на антиах - 600, островных дугах - 200-300 м.

39

Геотермический градиент наилучше высокий в верхних слоях Земли, зачем он уменьшается. Существоует горизонтальный градиент температуры, особенно большой в зоне перехода от океанической коры к континентальному. Наличие неравномерного распределения температуры вызывает термоупругие напряжения.



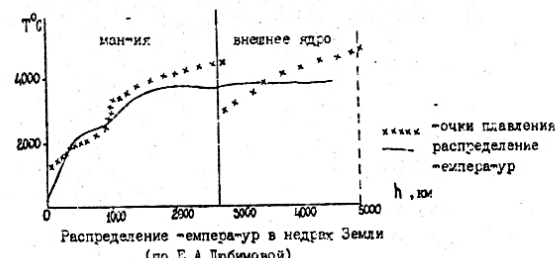
Наибольшего значения напряжения достигают радиальные. Они положительны в верхних 50 км оболочки (земной коре) и отрицательны в интервале 50-1000 км. Вверху они расглаголяющие, внизу - сжимающие. Скорость накопления напряжений довольно значительна и составляет  $50 \text{ дин}/\text{см}^2 \text{ год}$ . Считая прочность вещества континентальной  $6 \cdot 10^8 \text{ дин}/\text{см}^2$ , она накапливается за десятки миллионов лет, за период сравнимый с геологическими эпохами. Скорость накопления термоупругих напряжений убывает с глубиной, начиная с 200 км. Скорость выделения сейсмической энергии согласуется с такой закономерностью. На глубине 300 км она в 100 раз меньше, чем при поверхностных землетрясениях, а на глубине 700 км сокращается до нуля.

Радиогрев Земли должен приводить к изменению её радиуса. Сейчас скорость нарастания радиуса составляет  $3,5 \text{ см}/\text{за 1000 лет}$ . В течение первых миллиардов лет жизни Земли её радиус мог увеличиться на 50-100 км, что соотносится с изменением длины струнности на 300-600 км. Следами неизбежных разрывов могут быть рифовые долины.

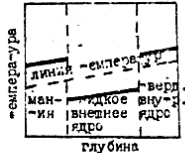
Возрастание градиента температур на глубинах 50-150 км приводит к возникновению сейсмического волновода. Небольшой тепловой поток циркуляции обуславливает малую вероятность возникновения волноводов под ними. Это подтверждается для Канадского Австралийского щита. На океанических корах наблюдается уменьшение глубины волноводов, что соотносится приближением зоны высоких градиентов к поверхности Земли.

На глубинах 15-140 км находятся максимальные геотермические

40



Распределение температур в недрах Земли (по Е.А.Любимовой)



градиенты. На этих же глубинах выделяется 95% энергии землетрясений. Температура разных глубин мантии для разных геохимических зон различна, очевидно происходящая в мантии процессы: конвективные перемещения вещества, частичные его расплавления в отдельных зонах, симуляция возникновения трещин, отрыв блоков стабильного вещества, опускание их на значительные глубины, горизонтальные и вертикальные смещения блоков земной коры. 60% очагов землетрясений Земли сосредоточено вдоль "линии андезита", границы граничной и базальтовой оболочек, зоны землетрясений, аномалий силы тяжести.

#### 6.4. Тепловой поток

Тепловая энергия Земли - основной источник энергии Земли. Этапы эволюции планеты тесно связаны с энергией. Все процессы течения жизни планеты зависят от её энергетического состояния. О-дача энергии Землей  $\sim 10^{26}$  эрг/год в 10-100 раз больше энергии всех землетрясений и вулканических процессов. Среднее значение теплового потока континентов  $\sim 4,86 \cdot 10^{-2}$ , океанов  $\sim 5,0 \cdot 10^{-2}$ , геохимических поясов  $\sim 6,7 \cdot 10^{-2}$  вт/м<sup>2</sup>. Неожиданным оказывается разница во тепловых потоках земной коры океанического и континентального типов в связи с их различным строением, что сопровождается гранитного слоя в океанической коре, который содержит наибольшее количество воды.

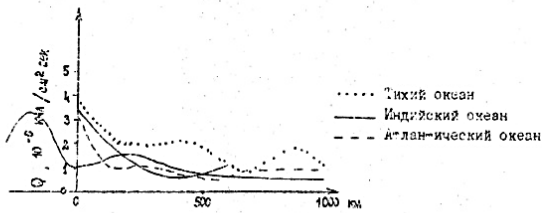
41

РЕПОЗИТОРИЙ ГУМ

линейчатые радиоактивные элементы. Следует подчеркнуть, что океаническая кора и магия более прогреты, чем континентальны. Распределение радиоактивных элементов в земной коре дает 40-70% получаемого Землей теплового потока.

- Потеря тепла Землей за время её существования и выделение тепла различными источниками при персистентной температуре образования Земли в  $1000^{\circ}\text{C}$ , показывает сначала разогревание Земли и дифференциацию её недр, а затем постепенное остынание примерно на  $800^{\circ}\text{C}$ . В настоящую время она теряет примерно столько же тепла, сколько иной образуется при радиоактивном расщеплении.

- Значения плотности теплового потока коррелируются с возрастом структур, чем моложе возраст - тем выше плотность теплового потока. Для океанического типа земной коры наблюдается уменьшение теплового потока с удалением от оси срединных хребтов и океанических обрывовых дуг.



Распределение температуры в недрах Земли, её тепловой поток, источники тепла имеют важнейшее значение для изучения истории образования и эволюции Земли. Температура и давление определяют состояние вещества внутри Земли и являются ключом к определению её строения. При гравитационной конденсации холодного космического вещества образуется горячая пленка с холодным ядром. Выделявшаяся энергия нагревает ядро, приводит в действие механизмы дифференциации вещества. Остывание оболочки, затвердевание уменьшают теплоотдачу планеты, что приводит снова к разогреву оболочки, перераспределению напряжений, разогревам коры, горообразование. Возникают геотектонические процессы с периодами в десятки и сотни миллионов лет.

42

## УН. ГЕОМАГНИЗМ И ЭЛЕКТРОГЕОВОДОСТЬ

### 7.1. Общие сведения о магнитном поле

Магнитными полями обладают звезды, Солнце и почти все планеты Солнечной системы. Поле состоит из постоянной и меняющейся составляющих. Напряженность магнитного поля земного шара можно рассматривать как поле намагниченного шара по оси, отклоняющейся на  $11,5^{\circ}$  от оси вращения Земли. Источники поля разделяются на внутренние и внешние. Внутренние источники магнитного поля находятся в недрах Земли. На это поле накладывается фон от намагниченностей горных пород земной коры. Наиболее подробный анализ составляющих магнитного поля Земли проведен Геуссом в 1869 году. Показано преобладание дипольной компоненты, на которую наложены квадупольное поле и поле высших мультипольности. Дипольное поле не порядок проводится поля других компонент. Величина дипольной составляющей  $3,5 \cdot 10^{29}$  ед. СГСИ . Картина изолиний магнитной час-и магнитного поля смещается в западном направлении со скоростью  $0,2^{\circ}$  в год и может совершать обороты вокруг земной оси за период около 2000 лет. Величина земного магнитного поля со временем Гауссона непрерывно уменьшается на  $0,05\%$  в год и при сохранении скорости изменения поля может пройти через 2000 лет. Но такое заключение некорректно, т.к. скорость изменения поля и его знак могут с течением времени варьироваться, что подтверждается палеомагнитными исследованиями. Установлен один из периодов изменения поля в 6000 лет. Напряженность магнитного поля Земли 2000 лет назад была в 2 раза больше современной.

На основании анализа полосовых аномалий срединно-океанических хребтов высказана гипотеза о сменах полярности дипольного магнитного поля Земли с периодом около  $2 \cdot 10^5$  лет и более. По полосовой структуре магнитных аномалий океанических хребтов и периодам изменения полярности можно оценивать скорость раздвижения океанического дна.

Центр земного магнитного диполя смещен относительно центра планеты на  $0,07$  Р. Магнитные полюса не остаются на одном месте, а передвигаются. Они смещаются от среднего положения даже в течение суток примерно на 100 км, вследствие суточных вариаций и магнитных возмущений.

Породы земной коры вносят свой вклад в магнитное поле. Ориентированная глубина затекания нижней границы намагниченных пород превышает точку Кори, при которой исчезают магнитные свойства по-

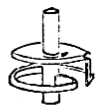
43

год. Среднее значение температуры точки Кюри для разных пород находится в пределах 450-775°C.

## 7.2. Природа геомагнетизма

Самые первые представления о равномерно намагниченных породах земного шара, создающих дипольное магнитное поле, сменились более обоснованными теориями. В настоящее время хорошо разработана теория гидромагнитного динамо (ГМД). Основная идея «теории» - создание магнитного поля в ядре, как в динамо-машине с самовозбуждением. Электрический ток в результате конвекционного движения вещества ядра создает магнитное поле, которое усиливает внешнее магнитное поле, что в свою очередь приводит к усищению тока.

В жидком ядре Земли происходят конвекционные движения, в результате которых существует система гидродинамических «течений». Возникновение конвекционных движений происходит в результате дифференциации вещества. Более «жидкие» фракции будут двигаться к внутреннему ядру, легкие - к мантии. Внешнее ядро может рассматриваться неоднородным по плотности.



Самовозбуждающееся динамо

Впервые теория ГМД была предложена Ларкэмом в 1929 году, в дальнейшем развивалась Я.И.Френкелем, В.Эльзассером, Т.Кауликом и др. Была доказана принципиальная возможность ГМД с невозможностью стационарного незатухающего процесса.

Были построены первые действующие кинематические модели ГМД.

Ядровое ядро Земли в результате различия плотности вращается вокруг земной оси не как одно целое, а с различными угловыми скоростями для разных слоев. Более легкие частицы, выпльвая к мантии, сохраняют свой момент количества движения и будут замедляться в верхних слоях, а более «жидкие» частицы погружаются ускоряясь. В связи с этим наблюдается западный дрейф поля в верхних горизонтах, который и отмечается на поверхности Земли. Внутренний восточный дрейф скрывается и не наблюдается.

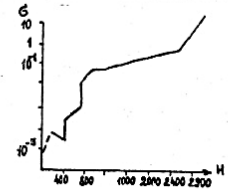
На поверхности Земли наблюдается поле  $B \approx 0,5$  Гс, внутри ядра будет существовать поле  $B \approx 3$  Гс. Полная теория ГМД достаточно сложна для рассмотрения. В ней рассматривается преобразование радиального поля генератора в торoidalное, дополнительные магнитогидро-

динамические волны КАИ, уравновешивающие магнитные, вихревые и кориолисовы силы в ядре Земли и склоняющие ось магнитного диполя от оси вращения Земли на  $11,5^\circ$ .

## 7.3. Электропроводность Земли

Электропроводность горизонтов Земли определяется в верхних горизонтах различными методами постоянных и переменных полей искусственного и естественного происхождения. Методами ВЭЗ со сверхдлинными питающими линиями до 750 км и мощными генераторами, ДЗЗ дают возможность изучения электропроводности до 15-25 км глубин. Более глубинные методы магнитовариационного профилирования и магнитотелурического сondицирования позволяют изучать Землю до глубин сколько 1000 км. Распределение электропроводности на больших глубинах определяется по данным физики высоких давлений и температур.

При температурах до  $1000-1200^\circ\text{C}$  проводимость горных пород примесная полупроводниковая. При более высоких температурах проводящей становится проводимость ионная. В целом отмечается быстрый рост электропроводности с глубиной после 400-420 км с  $10^{-4}$  до  $10^{-1} \Omega^{-1} \text{ см}^{-1}$ , т.е. в верхней мантии. Далее рост электропроводности замедляется и резкое возрастание происходит в нижней мантии. Проводимость внешнего земного ядра составляет  $3 \cdot 10^{-3} \Omega^{-1} \text{ см}^{-1}$ .



## III. ФИЗИЧЕСКИЕ ПРОЦЕССЫ В ЗЕМЛЕ

Давление в недрах Земли достигает 3,5 млн. атм., температуры достигают  $6000^\circ\text{C}$ . Достичь таких параметров в лабораторных условиях трудно. Для этого используют динамические методы сжатия ударными волнами. Эксперимент длится доли секунды. Такие исследования позволили решить неизвестные вопросы физики Земли. Раскрыта тайна

РЕПОЗИТОРИЙ ГГУ

получения алмазов.

### 8.1. Породы земной коры и мантии

Горные породы представляют собой агрегаты минералов. Важнейшими породообразующими минералами являются группы кварца  $SiO_2$ , ортосиликатов / $Mg$ ,  $Fe$ ,  $Si$ ,  $O$ /, пироксенов / $Mg$ ,  $Si$ ,  $Fe$ ,  $O$ /, амфиболов / $Ca$ ,  $Al$ ,  $Fe$ ,  $Mg$ ,  $Si$ ,  $O$ ,  $OH$ /, альмосиликатов / $K$ ,  $Al$ ,  $Na$ ,  $Ca$ ,  $Si$ ,  $O$ /, слад / $K$ ,  $Al$ ,  $Fe$ ,  $Al$ ,  $Si$ ,  $O$ ,  $H$ /, железо.

По генетическому признаку различают породы магматические, изверженные, осадочные, метаморфические. По содержанию окисла  $SiO_2$  изверженные породы делятся на кислые 65-75%  $SiO_2$  /граниты и др./, средние - 60-65%  $SiO_2$  /диориты, андезиты/, основные - 45-55%  $SiO_2$  /базальты, ультрабазовые - 40%  $SiO_2$  /ультрабазиты/.

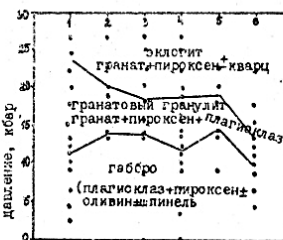
Ниже осадочного чехла в континентальной земной коре залегают граниты, потом идут базальты. Мантия Земли состоит из ультрабазитов. Т.е. с глубиной уменьшаются кислотность пород, содержание  $SiO_2$  уменьшается, также меняется  $Al_2O_3$ ,  $Na_2O$ ,  $K_2O$  и увеличивается содержание  $Mg$ ,  $FeO$ ,  $TiO_2$ . Важнейшими минералами в этих породах являются оливин, пироксен, амфибол; минералы эти объединены в группы пироксенитов, перидотитов, оливинитов.

За время жизни Земли мантия претерпела естественные изменения для изучения этих процессов учёные стараются определить первичный состав мантии и подвергнуть его воздействию высоких температур и давления. Считают, что первичная мантия состояла из пироксеново-оливиновой породы - пиролитика. При плавлении она дает базальтовуюмагму.

При высоких давлениях и температурах силикаты испытывают различные фазовые переходы. Реализуются три типа минеральных групп.

В области низких давлений - пироксены, плагиоклаз, кварц, шпинель. Отсутствуют граниты.

При возрастании давления появляются граниты и далее отложение плагиоклаз /гранит уменьшается до полного исчезновения плагиоклазов/. Дальнейшее повышение давления и температуры до  $1100^{\circ}C$  и 20 кбар приводят к образованию эпилогитовой породы /гранит, кварц, пироксен, пироп/.



Изменение минерального состава базальтов при изменении давления.



### 8.2. Метеориты

- Метеориты являются представителями процесса аккреции планет, остающимися развивающейся ранне-Солнечной системы. Некоторые из них должны иметь состав эквивалентный среднему составу Земли. Метеориты делят на четыре группы: железные - состоят на 90% из сплава никеля и железа; каменные /хондриты и ахондриты/ - сложены силикатными минералами, широко развитыми и не Земле, железокаменные. Широко распространены хондриты, недифференцированные метеориты. Хондры имеют такой же состав, как и окружающее их вещество, но имеют

РЕПОЗИТОРИЙ ГУРУ

сферулитовую форму в результате плавления до их заключения в общую агрегатную среду. Плавление происходило на ранней стадии аккреции при соудорожии.

Дифференцированные метеориты – железные, железокаменные и хондрические. При температуре  $1200^{\circ}\text{C}$  смесь 10% никеля в железе оба элемента полностью смешиваются в твердом растворе и свободно обмениваются в кристаллической решетке. При понижении температуры происходит разделение в две различные решетки с преобладанием в каждой узкого элемента. Ахондрические близки к «ливневым» базальтам и породообразителям. Железокаменные метеориты состоят из железо-никелевого вещества с небольшим количеством окислительных минералов.

Из рассмотренного материала можно сделать следующие выводы: хондрические соответствуют самым ранним стадиям развития Солнечной системы. Породы похожи на хондриты на Земле нет. Их можно считать тем веществом, с которого шло формирование Земли. Поэтому для исследований примите хондритовую модель. Ахондрические, железокаменные и железные метеориты являются результатами дифференциации первичного вещества и могут служить прообразом дифференциации вещества в земных недрах.

### 8.3. Дифференциация вещества планеты

Предполагается, что все вещества при образовании планеты сконцентрировались в зернах и имели температуру около  $10^{\circ}\text{C}$  (хондрическая модель). Следующим этапом явился разогрев, связанный с самой аккрецией, падением вещества и превращением кинетической энергии в тепло. Приросте планетного «тела» повышение температуры увеличивается. При этом может происходить испарение газообразных веществ, освобождающихся из силикатов  $\text{H}_2\text{O}$ ,  $\text{O}_2$ ,  $\text{SO}_2$ . Идет процесс восстановления железа. Чем больше масса планеты, тем сильнее будут развиты эти процессы и будет выше плотность планеты.

После завершения аккреции дальнейший разогрев планеты происходит в связи с радиоактивным распадом элементов. В первичном веществе велика доля короткоживущих радиоактивных элементов. Вещество, богатое восстановленным железом, плавится первым при температурах  $1000-1500^{\circ}\text{C}$ , когда силикаты еще остаются твердыми. Расплавленное вещество двигалось к центру планеты, что вызвало высвобождение энергии и ускорило процесс дифференциации вещества, расположение на ядро иmantию. Вещество планеты имеет следующий элементный состав:  $\text{O} - 32\%$ ,  $\text{Fe} - 25\%$ ,  $\text{Si} - 14.5\%$ ,  $\text{Mg} - 12.5\%$ ,  $\text{S} - 6\%$ , другие элементы  $8\%$ .

В результате образования соединений с учетом геохимических закономерностей должны образоваться на планете три слоя: силикаты  $\text{Mg}$  и  $\text{Fe}$ , сернистое железо  $\text{FeS}$  и металлическое железо. При достаточно высокой температуре эти слои расположатся в порядке плотности. В ядре существует металлическая область и зона, богатая сульфидами, мантия и кора имеют силикатный состав. Ядро Земли составляет 32% ее массы.

### 8.4. Физические процессы в мантии

Мантию можно разделить на три зоны: верхнюю, переходную, нижнюю. В верхней и нижней мантии низкие плотностные градиенты, в переходной зоне – более высокие. Непосредственно подошвой мантии существует еще одна переходная зона. Предположение о составе мантии дают метеориты, думитические-базальты, кимберлитовые трубки, офиолиты, выведенные на поверхность в результате надвиговых движений.

Верхняя мантия ( $400$  км). Породы, могущие быть основными в веществе мантии – перидотит и эпилогит. Различие между ними в том, что эпилогит содержит больше граната, пироксенов и хромизита, а в перидотите преобладает оливин. Эпилогит по составу очень близок к базальту. Состав эпилогитовой мантии требует полного плавления эпилогита при переходе в базальт и более высоких давлений, чем наблюдавшиеся у поверхности Марковинича. Базовый переход эпилогит–базальт может бы на распространение попуточных сейсмических волн.

Перидотитовый состав мантии лучше удовлетворяет имеющимся физическим условиям. Частичное плавление перидотита превращает вещества мантии в базальт. Плавление может происходить в этом случае при температуре  $500^{\circ}\text{C}$  и низком давлении. Вода в породах и мантии может поглощаться из водосодержащих минералов роговой обманки и флогопита, присутствующих в мантии.



РЕПОЗИТОРИЙ ГУРУ

Мантия - крупнейшая из глубинных субдоек Земли, 83% её объема и 68% массы. Мантия служит основным резервуаром земного тепла. В ней развиваются глобальные процессы, заведомо землетрясения и вулканизм. Наши знания о внутреннем строении мантии основаны на геофизических методах исследований.

В верхней мантии и, особенно, в переходном слое плотность вещества увеличивается быстрее, чем может быть обусловлено гравитацией. Это значит, что вещества в мантии подвергается преобразованиям, фазовым превращениям.

В океанической коре распространены офиолитовые комплексы. Они значительно тоньше, чем океаническая кора, не обладают магнитными аномалиями, имеют более низкие сейсмические скорости. Можно предположить, что офиолиты представляют океаническую литосферу. Океаническая кора образуется за счет верхних слоев мантии путем 25% плавления и в связи с этим обеднением компонентами с низкой температурой плавления.

Свойства мантии под океанами и континентами различны и это различие прослеживается до глубин 700 км.



Переходная зона (400–1050 км) мантии. На скоростном разрезе выделены три скачка скорости 400, 650, 1050 км. Они соответствуют изменениям плотностного разреза. Зона представляет область образования фазы высокого давления силикатных минералов. Фазовые превращения включают изменения структуры и плотности без изменения химического состава. На экспериментальной установке создающей давление 200 кбар (600 км) было доказано превращение оливин в шпинель с возрастанием плотности на 8%. Шпинель обладает более плотноупакованной кубической структурой, по сравнению с орторморбической оливином. Глубина 400 км при давлении 110–130 кбар соответствует границе фазового перехода оливин в шпинель. Здесь же происходит и прев-

50

ращение пироксена в гранат.



На границе 650 км происходит перестройка структуры шпинели, граната, пироксена. Повышение плотности за счет этих процессов составляет 9%.

При фазовых переходах происходит и изменения объема вещества. Переход пироксен–гранат – сопровождается уменьшением объема на 7,6%, гранат–ильменит – 8%, ильменит–пироксен – 6,9%.

Нижняя мантия (1050–2885 км). Плотность нижней мантии возрастает линейно от 4600 до 5500 кг/м³, скорость поперечных волн падает. Модели состава нижней мантии проведено много, но не получено результатов, хорошо согласующихся с имеющимися данными.

**Вы воды.** Вся мантия за исключением верхних нескольких десятков километров, имеет один и тот же химический состав – паридитовый: 60% оливина, 30% пироксена, 10% полевого шпата.

В верхней 30-километровой зоне под раздваивающимися хребтами перидотит испытывает частичное плавление с образованием гардебарита и дунита. В других, более низкотемпературных местах, происходит 5–10% плавление с образованием цепочник базальтов.

На глубине 400 км происходит фазовые изменения с превращением оливина в ильменит, а пироксена в гранат. На глубине 650 км гр. никеля структура переходит в ильменитовую и беросситовую, а шпинелевая – в структуру пломбата стронция. Фазовые изменения вызывают повышение плотности, обусловленное перестройкой атомного каркаса минералов.

Плотность увеличивается снова на глубине 1050 км, где формируется структура нижней мантии.

#### 8.5. Физические процессы в ядре

**Ядро.** Состав ядра должен быть таким, чтобы выполнялись известные условия: согласование с геохимическими законами, значениями

плотности, давления, твердая фаза для внутреннего и жидкая для внешнего, возможность генерировать магнитное поле. Этим условиям соответствует модель состава внутреннего ядра из железа и никеля. Во внешнем ядре железо растворено в серой, что понижает его точку плавления. Необходимая энергия для конвекции и возбуждения магнитного поля может быть получена приadioактивном распаде  $K^{40}$ , растворенного вместе с серой во внешнем ядре или в результате предшествующей дифференциации вещества.

Для плотности внутреннего ядра принимают  $(12,6-13) \cdot 10^3 \text{ кг}/\text{м}^3$ . Эти значения при давлении 3,6 Мбар могут быть получены только при смеси железа с никелем. Одно железо не может присобрести такую плотность. Внешнее ядро имеет больший размер и массу, плотность изменяется от границы мантии 9,9  $\text{кг}/\text{м}^3$  до внутреннего ядра 12,2  $\text{кг}/\text{м}^3$ . Для давления 1,4 Мбар (граница ядро-мантия) чистое железо имеет плотность 10,2  $\text{кг}/\text{м}^3$ , значит во внешнем ядре железо должно быть разбавлено более легкими элементами. Наиболее вероятными являются кремний и сера. Кремний совпадение дает сплав Fe - 90%, Si - 10% или сера 10-15%.

Минимально возможная температура у границы ядро-мантия -  $1800^\circ\text{C}$ , максимальна -  $3000^\circ\text{C}$ . Для внутреннего ядра максимальная температура зоны границы -  $4400^\circ\text{C}$ , минимальная -  $2340^\circ\text{C}$ .

Земное ядро могло быть полностью расплавлено. Потери энергии в связи с конвективными течениями и высокой теплопроводности мантии привели к остановке ядра и его росту. В настоящее время внутреннее ядро составляет 1,7% массы Земли. Предполагают, что рост ядра продолжается и будет идти до 10% массы Земли.

По лабораторным динамическим исследованиям получено, что свойства земного ядра соответствуют свойствам смеси 10% никеля и 90% железа. При этом оба элемента обладают при высоких температурах и давлениях полной эквивалентностью свойств в кристаллических решетках.

С ростом давления почти все вещества испытывают фазовые пере-

РЕПОЗИТОРИЙ ГГУ



ходы со скачкообразным возрастанием плотности. Гипотеза фазового перехода на границе мантия-ядро предполагала, что смеси металлов переходят, переходя в металлического состояния. Это обуславливает необходимую электропроводность внешнего ядра с его способностью создавать магнитное поле. Но экспериментальные проверки не подтверждают данной гипотезы. Более доказанным является изменение на границе мантия-ядро химического состава.

## IX. ГЕОЛОГИЧЕСКИЕ СВОЙСТВА ЗЕМЛИ

### 9.1. Реология

**Реология** – наука о течении и механическом поведении реальных сред, или неидеальноупругих тел. Простейшей реологической моделью является ньютоновская вязкая жидкость, в которой энергия механических колебаний будет диссилировать в тепло из-за вязкого трения.

Если постепенно увеличивать вязкость жидкости, то видим, что жидкость будет принимать форму сосуда через длительное время. Например такой ряд: вода, масло, альгиновая глина, гудрон, каменная соль.

Время релаксации  $t_R$  – время естественной разгрузки внутреннего напряжения среди равно отношению вязкости  $\eta$  к модулю сдвига  $\mu$ .

$$t_R = \eta / \mu$$

Для процессов с периодом больше времени релаксации тело ведет себя как жидкость, а для процессов периода меньше времени релаксации – как твердое тело. Практически любое вещество в зависимости от продолжительности наблюдений может проявлять себя как жидкость и как твердое тело.

Известно, что вещество жидкости не организуется в кристаллы. Твердые тела с течением времени образуют структурные группы. Но в силу различных причин, наличия примесей, тепла, кристаллические решетки имеют дефекты, которые и обуславливают изменение вязкости и модуля сдвига.

**Физический механизм реологических свойств.** Если бы кора и мантия состояли из идеальных металлов без дефектов, то прочность и была бы больше прочности реальных пород в  $10^3$  раз, а вязкость пород равнялась бы бесконечности – они не обладали бы свойством текучести. Такое мнение, что горные породы не текут – не имеет оснований. Считают, что горные породы текут в охладки, близость фи-

туры Земли и разновесной фигура соответствующей скорости её вращения, несмотря на то, что эта скорость изменилась. Если бы течения пород не было фигура Земли была бы другой. Последнедвиговые поднятия Скандинавии и Каледонии, течения каменных солей все эти факты подтверждают реальность течения горных пород.

**Дефекты кристаллических решёток.** В реальных кристаллах горных минералов всегда имеются дефекты решётки. Они возникают при росте кристаллов, в процессе их существования и при пластических деформациях. Атомы тела всегда находятся под действием температуры в колебательных движениях. Под влиянием тепловых флуктуаций отдельные атомы могут быть выброшены из узлов кристаллических решёток и перейти в междуузельные положения, теряя связь со своим узлом. В узлах кристаллической решётки появляются вакансии (эффект Френкеля). Идёт и обратный процесс - рекомбинация дефектов.

Большое значение в нарушении кристаллической решётки имеет дефект Потки. Атом или ион, покинув узел кристаллической решётки, расположается не в междоузлии, а на поверхности кристалла и решётка имеет просто вакансы. В цепочной решётке атомы примесей не смогли бы дифундировать сквозь кристалл, а атомы самого кристалла не смогли бы перемещаться. Но тепловые дефекты всегда возникают в кристаллах и достигают максимальных значений - один дефект на  $10^3 - 10^4$  узлов вблизи точки плавления. Если создать искусственно градиент концентрации вакансий, то выравнивание градиента сопровождается переносом вещества, его течением. Градиент концентрации вакансий исчезает в кристаллах приложении касательного напряжения. Поликристалл течёт и его эффективный коэффициент вязкости  $\eta$  будет определяться коэффициентом самодиффузии  $D$ . Чем больше коэффициент самодиффузии, тем меньше эффективная вязкость поликристалла.

$$\eta_1 = A \frac{KT}{\mu} \left( \frac{h}{a} \right)^2$$

$A$  - средний размер кристаллических зерен,  $A$  - постоянная решётки,  $K$  - постоянная Больцмана,  $T$  - абсолютная температура,  $A = 1/30$  - постоянная,  $\mu$  - коэффициент самодиффузии.

**Линейные дефекты.** Пластическое течение кристаллических твёрдых тел обусловлено движением линейных дефектов (дислокаций) в их плоскостях скольжения. Дислокации переносятся из одной плоскости скольжения в другую. Дислокации бывают краевые, винтовые и смешанные. Дислокации образуются при наличии лишних полуплоскостей в кристалле. Наличие дислокаций облегчает скольжение одной части кристалла относительно другой. Кристалл освобождается от линейного дефекта

54

со смещением на решётку. Скорость процесса переползания дислокаций определяется диффузией в поликристаллах.

Течение вещества обеспечивается двумя механизмами: перемещением дефектов кристаллической решётки и переползанием линейных дефектов (дислокаций). При температурах, приближающихся к точке плавления, подвижность атомов возрастает, подвижность увеличивается. Для сейсмических волн, имеющих период несколько секунд, горные породы представляют упругую твердую среду, но на сильн., действующие тысячи лет, они реагируют как вязкая жидкость.

Под литосферой температура пород близка к температуре плавления, поэтому этот слой имеет пониженную вязкость.

## 9.2. Состояние горных пород

**Упругое состояние.** Земля не представляет идеально упругого тела. Это положение принято еще в самых ранних исследованиях. Вещество Земли обладает упругие последствия, вязкость, внутреннее трение. И как бы они ни были малы, эти величины, они оказывают существенное влияние на происходящие физические процессы. Тем более, что рассматриваются процессы с периодом действия от десятой доли секунды до миллионов лет.

Джеффрис предложил для сдвиговой деформации  $\gamma$ , вызванной тангенциальным напряжением  $S$  следующее соотношение:

$$\delta = \frac{S}{M} - t \tau \frac{dx}{dt} + \frac{1}{\eta} \int \dot{\gamma} dt,$$

где  $\delta$  - сдвиг,  $M$  - модуль сдвига,  $\eta$  - коэффициент вязкости,  $t$  - время релаксации при вязком течении,  $\dot{\gamma}$  - коэффициент внутреннего трения,  $\dot{\gamma}$  - время запаздывания (время, за которое деформация падает до  $1/2$  первоначального значения).

Первая часть уравнения соответствует закону Гука, вторая - существенна для короткопериодных напряжений, третья - для напряжений действующих длительное время  $t = \eta/M$ .

Описать указанным уравнением все неупругие процессы невозможно, трудно даже сделать удовлетворительные оценки для длиннопериодных воздействий, хотя результаты таких воздействий существуют и наблюдаются. Трудность сопряжена в неизвестном определении констант земного вещества, его неопределенности, невозможности провести точные измерения. Ситуация значительно улучшается, если рассматривается короткопериодные процессы.

Исследование коэффициента затухания волн землетрясений различ-

их переходах через замороженную кору, магнит и ядро, дает дополнительную информацию о их строении. Так колебания с периодами доли секунды быстро затухают и не наблюдаются далее синусоидальных расстояний  $20^{\circ}$ . На расстояниях  $25\text{--}110^{\circ}$  поперечные волны первого чарте 4 сек. не наблюдаются, а продольные есть 1 сек. Продольные волны переходящие через ядро и магнит не обнаруживают зависимости к аффиненче поглощения от периода.

**Релаксация горных пород.** Релаксация напряжений. К вопросам течения горных пород можно отнести целую серию: уменьшается ли горы с течением времени, движутся ли материалы, как действует ледниковая нагрузка в Гренландии и Антарктиде, как идет подъем суши после таяния ледника и т.д.

Самый яркий примером доказательства действия различной длительности нагрузки является лед, каменная соль и гудрон. Эти вещества при кратковременных нагрузках ведут себя как упругие твердые тела, при более длительных воздействиях мы можем наблюдать их течение. Так что, очевидно, все горные породы обладают таким эффектом, если принять во внимание тысячи и миллионы лет воздействия сил.

В Северной Америке и Скандинавии после исследования ледника происходит поднятие суши. Скорость поднятия в настолько время зафиксирована в  $1\text{м}/100$  лет в центре. По поводу таких поднятий существует два предположения: поднятие в связи с изостатическим выравниванием. Максимальная толщина льда была в Скандинавии 2-3 км. Таяние началось 40 тысяч лет назад и закончилось около 9 тысяч лет назад. Поверхность Земли в центре оледенения поднялась на 250-300 м к концу таяния, после этого увеличилась еще на 260 м. Наблюдаемые скорости поднятия согласуются со скоростями, требуемыми ньютоновской жидкостью. Центр области оледенения находится все еще на 200 м ниже положения равновесия. По мере приближения к центру оледенения увеличиваются отрицательные аномалии до 50 мгс.

В Гренландии должен иметь место прогиб поверхности горных пород. Он и наблюдается. В центре острова толщина льда составляет 1220 м, а его поверхность выше уровня моря на 1570 м. Т.е. поверхность горных пород в центре острова на 200-270 м ниже уровня моря. Горные же породы у берегов имеют высоту до километра. Т.е. поверхность горных пород представляет мульду.

Время релаксации в обычных условиях поверхности Земли составляет 20-30 тысяч лет. Древние каменные строения поражают археологов необычной подогнанностью каменных блоков. Однако это не искусство

строителей, а результат ползучести материала за счет релаксации напряжений. Для геологического времени время релаксации в тысячи лет означает, что многие, большинство гор должны были бы растечься под действием собственного веса, но это не произошло. При скорости горообразовательных процессов  $1\text{м}/\text{год}$  действие релаксации напряжений успевало бы их уничтожить. Известно, что современная фигура Земли соответствует той скорости вращения, которая была 10 млн. лет назад.

### 9.3. Релаксация горных систем

Релаксация напряжений горных пород зависит от размера системы, поэтому лабораторные данные релаксации напряжений небольших блоков не возможно переносить на большие объемы без соответствующих поправок. Под релаксацией понимается процесс достижения системой термодинамического равновесия, при котором значения параметров термодинамического равновесия, при котором значения параметров системы во всех ее точках становятся одинаковыми. Зависимость релаксации от размеров системы наглядно подтверждается временем охлаждения нагретых тел. Чем больше тело, тем дольше оно остывает. В блоках горных пород релаксации идет сначала вблизи поверхности, появляется сеть трещин разгрузивших напряжение. Более глубокие части массива остаются в прежнем напряженном состоянии. Затем процесс распространяется на более глубокую зону.

$$T \sim T(L/J)^2 \gg T,$$

где  $T$  - общее время релаксации блоков,  $T$  - образца,  $L$  - размер системы,  $J$  - характерный размер локального объема.

Примерами зависимости времени релаксации от размеров системы могут служить и процессы в горных выработках. Часто обрушение кровли, выбросы газа, проседание поверхности Земли над выработкой происходят не сразу, а спустя определенное время, иногда длительное. Бывает, что в отвалах горные породы засыхают от разрядки напряжений, хотя прошли часы, сутки после их выемки из горного массива. Так же построенные дома при плохих расчетах фундамента дают трещину не сразу, а спустя годы после окончания строительства. Все эти факты подтверждают общую закономерность релаксации напряжений в зависимости от размеров системы.

С ростом температуры время релаксации быстро уменьшается. По мере роста глубины, а значит повышения температуры, вещества становятся более текучими, более подвижными. Распределение выделляемой

РЕПОЗИТОРИЙ ГГУ

енергии землетрясениями по глубине подтверждает такую закономерность.

Представление о вязкости при взаимодействующих силах дает трехслойную модель с увеличением плотности каждого слоя с глубиной. Тонкая упругая деревянная пластина на поверхности жидкого масла, которое в свою очередь налито на более густое. Небольшую нагрузку выдерживает пластина за счет изгиба и плавучести дерева. При большой нагрузке пластина погружается, несясь оттока масла. Но процесс оттока занимает время большее, чем выше вязкость масла. Следует обратить внимание и на ускорение тяжести в этом процессе. При изостатическом равновесии ускорение силы тяжести над нагрузкой очень значительно отличается от фонового. Величина аномалии силы тяжести дает меру современного отклонения от изостазии.

Использовав закономерность модели можно определить по степени поднятия поверхности Земли в районе быстрых ледниковых вспышек вязкость атмосферы, астенофера и остальной части мантии.

Глубина, км	область	вязкость, $\text{м}^2/\text{с}$	жесткость, $\text{Н}\cdot\text{м}$
0-100	Литосфера		$5 \cdot 10^{24}$
100-175	Астенофера	$\approx 4 \cdot 10^{19}$	
175-2685		$\approx 1 \cdot 10^{21}$	

Если бы перетекание слоя астенофера под ледником покровом было без влияния на более жесткую зону мантии, то по краям ледника из-за повышения давления в атмосфере развились бы поднятия. При падении ледника — обратный процесс. Но таких явлений не наблюдается. Следовательно пластическая деформация уходит глубоко в мантию.



#### 9.4. Конвективные потоки в Земле

В различных геотектонических гипотезах предполагается наличие подкоровых течений. Время релаксации в процессах течения уменьшается с увеличением глубины от нескольких тысяч лет на  $H=50$  км до 100 лет на глубине 200 км. Скорости потоков имеют порядок  $1\text{см}/\text{год}$ . Горизонтальное движение могут быть обнаружены по переходам эдис-разрывов, по геодезическим измерениям. В центральной части Сан-Андерского разрыва видимо смещение гусей рек составляет сотни метров, хотя общее смещение за время существования разрыва невозможно оценить. Прямые оценки по стложенным городам составляют сотни километров. Подобные результаты движения габиодор в Блонике, на Аляске, на Билининке, в Новой Зеландии относительное смещение блоков установлено на величину 500 см; инструментально за последние 60 лет определена скорость перемещения  $4\text{ см}/\text{год}$ . В большинстве областей только часть смещений происходит во время землетрясений, а остальная во время постепенного движения.

При исследовании процессов более глубоких частей Земли реологические свойства все больше неопределены. Требуется обобщение баланса возможностей накопления упругой энергии на глубинах около 200 км, где наблюдаются очаги землетрясений, геотонические трещины и способы релаксации напряжений в результате вязкого течения. Так глубокофокусные землетрясения могут повторяться периодом 100 и даже 10 лет в одном районе. Следовательно, за это время деформация не успевает заметно уменьшиться процессами вязкого течения. Время релаксации составляет 1000 лет.

Ниже глубин 200 км не наблюдается землетрясений, время релаксации вещества там должно быть порядка 30 лет. Вязкость на этих глубинах уменьшается до величины  $10^{20}$  пз.

РЕПОЗИТОРИЙ ГГУ

## СОДЕРЖАНИЕ

	стр.
<b>ВВЕДЕНИЕ</b>	
I. ОСНОВНЫЕ ГЕОЛОГ-ГЕОФИЗИЧЕСКИЕ ОСОБЕННОСТИ ЗЕМЛИ	3
1.1. Континентальная кора	3
1.2. Океаническая кора	4
1.3. Срединно-океанические хребты	5
II. РАСПРОСТРАНение СЕЙСМИЧЕСКИХ ВОЛН В ЗЕМЛЕ	6
2.1. Сейсмические волны Земли	6
2.2. Волны землетрясений	8
2.3. Сейсмические волны и строение Земли	12
2.4. Длиннопериодные волны. Собственные колебания Земли	15
2.5. Диссилиативные свойства Земли, добротность	16
2.6. Сейсмология Луны	17
III. СЕЙСМИЧЕСКАЯ АКТИВНОСТЬ ЗЕМЛИ	19
3.1. География землетрясения, параметры	19
3.2. Причины землетрясений	21
3.3. Модели землетрясений	23
3.4. Сейсмическое районирование	24
3.5. Процессы землетрясений	25
IV. ГРАВИТАЦИОННОЕ ПОЛЕ. ФИГУРА ЗЕМЛИ	26
4.1. Сила тяжести	26
4.2. Фигура Земли	27
4.3. Импль инерции Земли	28
4.4. Изостазия	28
4.5. Земные приливы	29
4.6. Изменение силы тяжести	31
V. ПЛОЮССЫ И УПРУГИЕ ПОСТОЯННЫЕ ЗЕМЛИ	32
5.1. Однородная модель	32
5.2. Реальная модель Земли	33
5.3. Упругие постоянные. Число Лива	34
VI. ГЕОТЕРМЫ	37
6.1. Источники тепла	37
6.2. Механизмы передачи тепла	38
6.3. Температура Земли, геотермический градиент	38
6.4. Тепловой посток	41
VII. ГЕОМАГНЕТИЗМ И АЛЕКТРОПРОВОДНОСТЬ	43
7.1. Общие сведения о магнитном поле	43
7.2. Природа геомагнетизма	44
	60
	61
7.3. Электропроводность Земли	45
VII. ФИЗИЧЕСКИЕ ПРОЦЕССЫ В ЗЕМЛЕ	45
8.1. Породы земной коры и мантии	46
8.2. Метеориты	47
8.3. Дифференциация вещества планеты	48
8.4. Физические процессы в мантии	49
8.5. Физические процессы в ядре	51
IX. РЕДОГИЧЕСКИЕ СВОЙСТВА ЗЕМЛИ	53
9.1. Релогия	53
9.2. Составление горных пород	55
9.3. Релаксация горных систем	57
9.4. Конвективные потоки в Земле	59

РЕПОЗИТОРИЙ ГГУ

**РЕКОМЕНДУЕМАЯ ЛИТЕРАТУРА**

1. Деменицкая Р.И. Кора и мантия Земли.-М.: Недра, 1975, 253 с.
2. Магнитский В.А. Внутреннее строение и физика Земли.- М.: Недра, 1965, 379 с.
3. Жарков В.Н. Внутреннее строение Земли и планет.- М.: Наука, 1983, 416 с.
4. Ереин Д., Массе А. Недоступная Земля.- М.: Мир, 1984, 261 с.
5. Буллен К.Е. Плотность Земли. - М.:Мир, 1978, 437 с.
6. Жарков В.Н., Губкин В.П., Самоненко Л.В. Физика Земли и планет. Сигуры и внутреннее строение. - М.: Наука, 1971, 364 с.
7. Масников В.П., Фадеев В.Е. Гидродинамические модели эволюции Земли и планет земной группы. - М., 1980, 232 с. (Материалы научно-исследовательской конференции. Вып. 1).
8. Стейнс С. Физика Земли.- М.: Мир, 1972, 342 с.
9. Эйзик Дж.А. Землетрясения. - М.: Недра, 1982, 264 с.
10. Никонов А.Л. Землетрясения. - М.: Знание, 1984, 192 с.
11. Кац Я.Г., Рабухин А.Г. Космическая геология, 1984, 80 с.
12. Седеков О.А. Землетрясения.- Знание, М., 1988, 48 с.

Методические указания по курсу "Физика Земли"  
для студентов специальности "Геофизические методы  
поисков и разведки"

Составитель Пинчук Адам Петрович

Ответственный за выпуск А.П.Пинчук  
Подписано в печать 02.02.90г. Формат 60x84 1/16. Бумага писчая №1.  
Печать офсетная. Усл.п.л. 3,3. Уч.-изд.л. 3,0. Тираж 300 экз.  
Заказ 424 Бесплатно

Спечатано на ротапринте ГГУ, г.Гомель, ул.Советская, 104

РЕПОЗИТОРИЙ ГГУ